

## Kapitel IV. Ausbildung elektromagnetischer Wellen

Zeitabhängige Quellen, z.B. beschleunigte Punktladungen, erzeugen elektromagnetische Wellen. Dies wollen wir im folgenden detailliert studieren.

### IV.1 Die retardierte Fundamentalslösung der Wellengleichung

Fundamentalslösungen der Wellengleichung sind diskitative Lösungen von

$$\square G = \delta \quad , \quad \square = \partial_{\mu} \partial^{\mu} = \frac{1}{c^2} \frac{\partial^2}{\partial t^2} - \Delta . \quad (1.1)$$

Diese werden in der HMP-Vorlesung ausführlich studiert (siehe Skript, speziell Kap. VII). Wir gehen deshalb bei den nachfolgenden Wiederholungen teilweise formal vor. (Davor sollte man keine Angst haben.)

Die Gl. (1.1) hat keine eindeutige Lösung. Wir interessieren uns in erster Linie für die retardierte Green'sche Funktion, welche

$$G(\underline{x}, t) = 0 \quad \text{für } t < 0 \quad (1.2)$$

erfüllen soll. (Wir haben hier eine symbolistische Schreibweise verwendet; es sei aber daran erinnert, dass das Verständnen einer Distribution in einer offenen Teilmenge sinnvoll ist.) Die Randbedingung (1.2) hat die folgende physikalische Bedeutung:

für jede Fundamentallösung  $G$  ist

$$\varphi = G * \rho \quad (1.3)$$

eine Lösung der inhomogenen Wellengleichung

$$\square \varphi = \rho . \quad (1.4)$$

Schreiben wir (1.3) symbolisch in der Form

$$\varphi(\underline{x}, t) = \int G(\underline{x} - \underline{x}', t - t') \rho(\underline{x}', t') d^3x' dt , \quad (1.5)$$

so dürfte klar sein, dass nach (1.2) für die retardierte Green'sche Funktion der Wert  $\varphi(\underline{x}, t)$  zur Zeit  $t$  nur von der Quelle  $\rho$  für frühere Zeiten abhängt. Aus Kausalitätsgründen erwarten wir diese Eigenschaft von Feldwirkungen, welche durch zeitabhängige Quellen verursacht werden.

Wir bestimmen nun die retardierte Green'sche Funktion auf zwei verschiedene Arten.

1. Methode: Wir wollen (1.1) im Raum der kugeligen Distributions lösen und können deshalb eine (4-dim.) Fouriertransformation ausführen:

$$k^2 \cdot \hat{G}(k) = -1 . \quad (1.6)$$

Eine Lösung davon ist  $[k = (\frac{\omega}{c}, \underline{k})]$

$$\hat{G}(k, \omega) = \frac{1}{k^2 - \frac{1}{c^2}(\omega + i\epsilon)^2} , \quad \epsilon \downarrow 0 , \quad (1.7)$$

wobei der Index  $\varepsilon \downarrow 0$  im distributiven Sinne zu nehmen ist. Wir werden bald sehen, dass diese Wahl gerade die tatsächliche Fundamentalslösung liefert.

Es stellt sich die Aufgabe, die inverse Fouriertransformation von (1.7) zu bestimmen. Dies bewerkstelligen wir auf formale Weise: Im "Integral"

$$G(\underline{x}, t) = (2\pi)^{-1} \int \frac{1}{\frac{k^2 - (\omega + i\varepsilon)^2}{c^2}} e^{-ik \cdot \underline{x}} e^{-i\omega t} d\omega dk \quad (1.8)$$

führen wir zuerst die  $\omega$ -Integration aus, d.h., wir betrachten

$$I(k) = \int_{\text{IR}} \frac{e^{-i\omega t}}{\frac{c^2 k^2 - (\omega + i0)^2}{c^2}} d\omega .$$

Mit dem Residuensatz lässt sich dieses Integral leicht berechnen. Für  $t < 0$  kann man den Integrationsweg in der oberen komplexen  $\omega$ -Ebene schließen und erhält mit dem Satz von Cauchy tatsächlich Null. Ist hingegen  $t > 0$ , so kann der Integrationsweg in der unteren Halbebene geschlossen werden. Da dort zwei einfache Pole bei  $\omega = \pm ck - i0$  vorliegen, erhalten wir

$$I(k) = 2\pi \cdot c \frac{\sin(ckt)}{k} , \quad k = |k| .$$

Im verbleibenden "Integral"

$$G(\underline{x}, t) = \frac{c}{(2\pi)^3} \int e^{-ik \cdot \underline{x}} \frac{\sin(ckt)}{k} dk \quad (1.9)$$

führen wir zuerst die Winkelintegration aus:

- 4 -

$$G(x,t) = \frac{c}{8\pi^2} \frac{1}{\tau} \int_0^\infty \sin(kx) \sin(ckt) dk. \quad (1.10)$$

Da der Integrand in  $k$  gerade ist, können wir das Integral über ganz  $\mathbb{R}$  ausdehnen und finden so

$$G = \frac{1}{8\pi^2} \frac{1}{\tau} \int_{\mathbb{R}} [e^{i(t-\frac{x}{c})u} - e^{i(t+\frac{x}{c})u}] du.$$

Da  $t > 0$ , folgt

$$G(x,t) = \frac{1}{4\pi} \frac{1}{\tau} \delta(t - \frac{x}{c}) \quad \text{für } t > 0.$$

Insgesamt ist somit

$$\boxed{G(x,t) = \frac{1}{4\pi} \theta(t) \delta(t - \frac{x}{c})}. \quad (1.11)$$

Würden wir die Pole in der komplexen  $\omega$ -Ebene anders wählen, so würden sich andere Randbedingungen ergeben.

Setzen wir (1.11) in (1.3) (oder (1.5)) ein, so erhalten wir für die retardierte Lösung von (1.4)

$$\Phi(x,t) = \frac{1}{4\pi} \int \frac{\rho(x',t - \frac{|x-x'|}{c})}{|x-x'|} dx'. \quad (1.12)$$

Man kann natürlich natürlich leicht verifizieren, dass dieser Ausdruck – etwa für ein stetiges  $\rho$  – die Gleichung (1.4) tatsächlich löst (Übung).

2. Methode: Zunächst wenden wir auf (1.1) die partielle Fourier-Transformation bezüglich  $x$  an.<sup>\*</sup> Für  $\hat{G}(k,t) =$

$\mathcal{F}_x[G]$  erhält man leicht (wir setzen vorübergehend  $c=1$ ):

$$\frac{\partial^2 G}{\partial t^2}(\underline{k}, t) + \underline{k}^2 G(\underline{k}, t) = 1(\underline{k}) \delta(t). \quad (1.13)$$

Eine Lösung davon ist (in  $\mathcal{F}'$ )

$$\hat{G}(\underline{k}, t) = \theta(t) \frac{\sin |\underline{k}|t}{|\underline{k}|}. \quad (1.14)$$

Dazu folgendes: Sei  $E(t) = \theta(t) Z(t)$ ,  $Z$  eine glatte Funktion mit  $Z(0) = 0$ ,  $Z'(0) = 1$ , so gilt  $E' = \theta' Z + Z(0) \delta' = \theta Z'$ , also  $E'' = \theta Z'' + Z' \delta = \delta + \theta Z''$ . In unserem Fall ist  $Z'' = -\underline{k}^2 Z$ , also  $E'' + \underline{k}^2 E = \delta$ .

Aus (1.13) ergibt sich

$$G(x, t) = \theta(t) \mathcal{F}_{\underline{k}}^{-1} \left[ \frac{\sin |\underline{k}|t}{|\underline{k}|} \right]. \quad (1.15)$$

Im MMP-Skript wird die Rücktransformation teils streng durchgeführt. Hier gehen wir wieder formal vor: Wir stoßen dabei auf dasselbe Integral wie in (1.9)

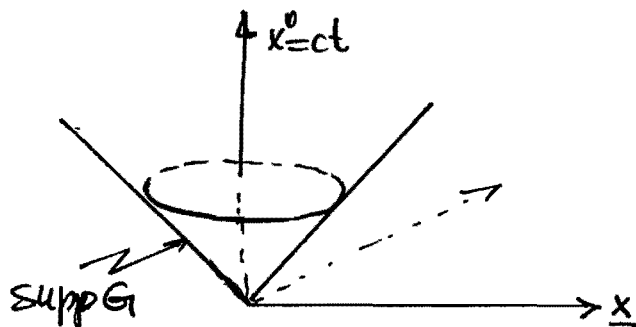
$$\mathcal{F}_{\underline{k}}^{-1} \left[ \frac{\sin |\underline{k}|t}{|\underline{k}|} \right] = (2\pi)^3 \int \frac{\sin |\underline{k}|t}{|\underline{k}|} e^{i\underline{k} \cdot \underline{x}} d^3 k \quad (1.16)$$

und erhalten wieder das Ergebnis (1.11).

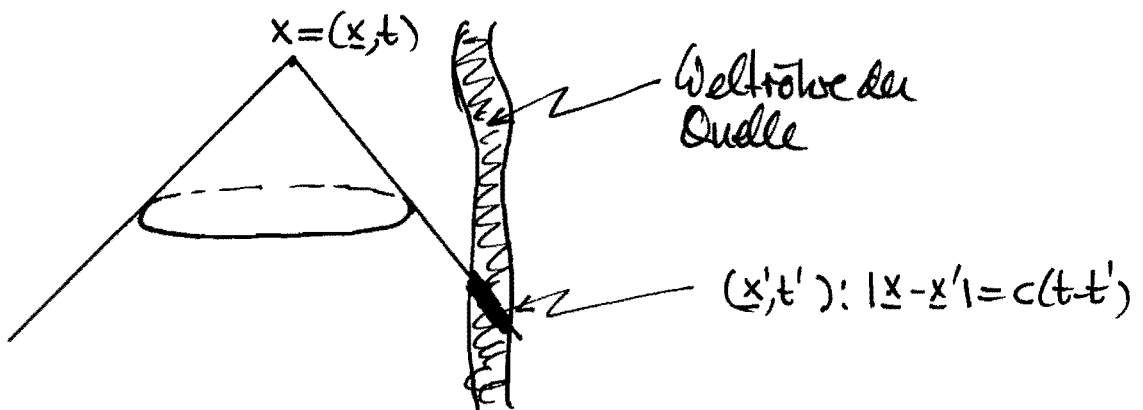
Der Träger der transformierten Green-Funktion (1.11) ist der Mantel des Verwaltungsbereichs (s. Fig.):

- \* Es sei  $T(x, y) \in \mathcal{S}'(\mathbb{R}^{4+m})$ ,  $x \in \mathbb{R}^4$ ,  $y \in \mathbb{R}^m$ .  $\mathcal{F}_x[T]$  bezüglich  $x$  ist so definiert:  $\langle \mathcal{F}_x[T], f \rangle = \langle T, \mathcal{F}_{\underline{k}}[f] \rangle$  für  $f \in \mathcal{S}(\mathbb{R}^{4+m})$ . Da  $\mathcal{F}_{\underline{k}}[f]$  eine stetige Abbildung von  $\mathcal{S}(\mathbb{R}^{4+m})$  nach  $\mathcal{S}(\mathbb{R}^{4+m})$  ist, ist  $\mathcal{F}_x[T]$  aus  $\mathcal{S}'(\mathbb{R}^{4+m})$ .

$$\text{Supp } G = \{x \in \mathbb{R}^4 \mid (x, x) = 0, |x|^2 > 0\}. \quad (1.17)$$



Deshalb liegen in (1.17) zu  $\varrho$  in  $x$  nur Quellpunkte bei, die auf dem Mantel des Rückwärtskegels durch den Punkt  $x$  liegen (s. Fig.). Dies ist ein Ausdruck davon, dass sich elektromagnetische Signale mit  $c$  ausbreiten.



Wir führen noch folgende Bezeichnung ein:

$$D_{ret}(x, t) = \frac{1}{\pi} \theta(t) \delta(t - \frac{|x|}{c}), \quad (1.18)$$

d.h. bis auf  $\frac{1}{4\pi}$  ist  $D_{ret}$  die reziproke Green'sche Funktion.  
(Diese Normierung hat sich eingebürgert.)

## IV.2 Nahzone - Fernzone, Multipolentwicklung

Wir leiten zunächst inhomogene Wellengleichungen für  $\underline{E}$  und  $\underline{B}$  ab.

Für  $\underline{B}$  haben wir

$$\text{rot}(\text{rot } \underline{B}) = \underbrace{\text{grad div } \underline{B}}_0 - \Delta \underline{B},$$

$$\frac{1}{c} \dot{\underline{E}} + \frac{4\pi}{c} \underline{J}$$

also

$$\underbrace{\frac{1}{c} \dot{\underline{E}} + \frac{4\pi}{c} \text{rot } \underline{J}}_{-\frac{1}{c^2} \ddot{\underline{B}}} = -\Delta \underline{B}$$

oder

$$\boxed{(\Delta - \frac{1}{c^2} \partial_t^2) \underline{B} = -\frac{4\pi}{c} \text{rot } \underline{J}} \quad (2.1)$$

Ähnlich ergibt sich für  $\underline{E}$

$$\text{rot}(\text{rot } \underline{E}) = \underbrace{\text{grad div } \underline{E}}_{4\pi\rho} - \Delta \underline{E}$$

$$\underbrace{-\frac{1}{c} \dot{\underline{B}}}_{-\frac{1}{c} (\text{rot } \underline{B})} = -\frac{1}{c} \left( \frac{4\pi}{c} \underline{J} + \frac{1}{c} \dot{\underline{E}} \right)$$

d.h.

$$\boxed{(\Delta - \frac{1}{c^2} \partial_t^2) \underline{E} = 4\pi (\nabla \rho + \frac{1}{c^2} \dot{\underline{J}})} \quad (2.2)$$

Aus (2.1) und (2.2) erhalten wir für die reflektierten Felder

- 11. 8 -

$$\underline{E}_{\text{ret}}(\underline{x}, t) = - \int \frac{d\underline{x}'}{|\underline{x} - \underline{x}'|} \left[ \nabla' \rho + \frac{1}{c^2} \dot{\underline{J}} \right]_{\text{ret}}, \quad (2.3)$$

$$\underline{B}_{\text{ret}}(\underline{x}, t) = \frac{1}{c} \int \frac{d\underline{x}'}{|\underline{x} - \underline{x}'|} [\nabla' \times \underline{J}]_{\text{ret}}, \quad (2.4)$$

Wobei "ret" das Argument  $(\underline{x}', t - \frac{|\underline{x} - \underline{x}'|}{c})$  andeuten soll

Nun ist  $[\nabla' \rho]_{\text{ret}}$  und dasselbe wie  $\nabla' [\rho]_{\text{ret}}$ : Wir haben

$$\begin{aligned} \nabla' [\rho]_{\text{ret}} &= \nabla' \rho (\underline{x}', t - \frac{|\underline{x} - \underline{x}'|}{c}) \\ &= [\nabla' \rho]_{\text{ret}} - [\partial_t \rho]_{\text{ret}} \underbrace{\nabla' \left( \frac{|\underline{x} - \underline{x}'|}{c} \right)}_{-\frac{1}{c} \frac{\underline{x} - \underline{x}'}{|\underline{x} - \underline{x}'|}} \end{aligned}$$

d.h.

$$\nabla' [\rho]_{\text{ret}} = [\nabla' \rho]_{\text{ret}} + \frac{\underline{x} - \underline{x}'}{|\underline{x} - \underline{x}'|} \frac{1}{c} [\dot{\rho}]_{\text{ret}}. \quad (2.5)$$

Dann erhalten wir für das  $\underline{E}$ -Feld

$$\underline{E}_{\text{ret}}(\underline{x}, t) = \int \frac{d\underline{x}'}{|\underline{x} - \underline{x}'|} \left\{ -\nabla' [\rho]_{\text{ret}} + \frac{1}{c} \frac{\underline{x} - \underline{x}'}{|\underline{x} - \underline{x}'|} [\dot{\rho}]_{\text{ret}} - \frac{1}{c^2} [\dot{\underline{J}}]_{\text{ret}} \right\}$$

Oder, nach einer partiellen Integration im ersten Term,

$$\underline{E}_{\text{ret}}(\underline{x}, t) = \int \left\{ \frac{\underline{x} - \underline{x}'}{|\underline{x} - \underline{x}'|^3} [\rho]_{\text{ret}} + \frac{1}{c} \frac{\underline{x} - \underline{x}'}{|\underline{x} - \underline{x}'|^2} [\dot{\rho}]_{\text{ret}} - \frac{1}{c^2} \frac{1}{|\underline{x} - \underline{x}'|} [\dot{\underline{J}}]_{\text{ret}} \right\} d\underline{x}' \quad (2.6)$$

rekodiertes Coulombfeld

Streuungsterme  $\propto \frac{1}{r}$   
(fallen im stationären Fall weg).

Entsprechend bemerkten wir im Ausdruck (2.4) für  $\underline{B}$ . Mit

Hilfe von

$$\nabla' \wedge [I]_{\text{ret}} = [\nabla' \wedge I]_{\text{ret}} + \frac{1}{c} \frac{x-x'}{|x-x'|} \wedge [I]_{\text{ret}} \quad (2.2)$$

erhalten wir nach partieller Integration

$$\boxed{\underline{B}_{\text{ret}}(x,t) = -\frac{1}{c} \int \left\{ \frac{x-x'}{|x-x'|^3} \wedge [I]_{\text{ret}} + \frac{1}{c} \frac{x-x'}{|x-x'|^2} \wedge [I]_{\text{ret}} \right\} dx'}. \quad (2.8)$$

↗  
Biot-Savart      ↗  
Stehungsterm

Für große Abstände erhalten wir monochromatische Zeitabhängigkeiten  $\sim e^{i\omega t}$ . Dann erhalten wir für das Verhältnis der beiden Terme in (2.8) ( $R \gg |x-x'|$ ):

$$\frac{\text{Stehl.-Term}}{\text{Biot-Savart}} \sim \left(\frac{\dot{J}}{Rc}\right) / \left(\frac{J}{R^2}\right) \sim \frac{\omega}{c} R \sim \frac{R}{\lambda}. \quad (2.9)$$

Für grosse  $\lambda$  (kleine  $\omega$ ) dominiert der Biot-Savart Anteil bis zu grossen Abständen von der Quelle; erst für  $R \gg \lambda$  dominiert der Stehungsanteil. Die entsprechenden Aussagen gelten für das  $E$ -Feld. Man führt deshalb die folgende Terminologie ein:

$$\underline{\text{Nahzone}} : R \ll \lambda ; \quad (2.10)$$

$$\underline{\text{Fernzone}} : R \gg \lambda \quad (\text{auch } \underline{\text{Wellenzone}}). \quad (2.11)$$

Wir konzentrieren uns nun auf die Felder in der Fernzone. Sei  $d$  die Ausdehnung der Quelle, dann soll genauer gelten:

$$t \gg \lambda \quad \text{und} \quad r \gg d .$$

(2.12)

Nach (2.6) ist mit der Stromerhaltung und ~~weglassen einer partiellen Integration~~ ( $\underline{n} := \underline{x}/\lambda \underline{x}$ )

$$\begin{aligned} \underline{E}_{\text{ret}} &= \frac{1}{r} \int \left\{ \underbrace{\frac{1}{c} [\dot{\underline{\varrho}}]_{\text{ret}} \underline{n} - \frac{1}{c^2} [\dot{\underline{J}}]_{\text{ret}}} \right\} d\underline{x}' + O\left(\frac{1}{r^2}\right) \\ -[\nabla' \cdot \underline{J}]_{\text{ret}} &= -\nabla' \cdot [\underline{J}]_{\text{ret}} + \frac{1}{c} \underline{n} \cdot [\dot{\underline{J}}]_{\text{ret}} \\ &= \frac{1}{r} \frac{1}{c^2} \int \left\{ (\underline{n} \cdot [\dot{\underline{J}}]_{\text{ret}}) \underline{n} - [\dot{\underline{J}}]_{\text{ret}} \right\} d\underline{x}' + O\left(\frac{1}{r^2}\right), \end{aligned}$$

d.h.

$$\underline{E}_{\text{ret}} = \frac{1}{r} \frac{1}{c^2} \int \underline{n} \wedge (\underline{n} \wedge [\dot{\underline{J}}]_{\text{ret}}) d\underline{x}' + O\left(\frac{1}{r^2}\right). \quad (2.13)$$

Nach einfacheren folgt aus (2.8)

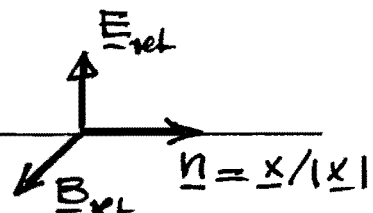
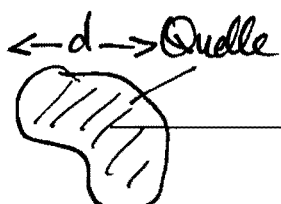
$$\underline{B}_{\text{ret}} = -\frac{1}{r} \frac{1}{c^2} \int \underline{n} \wedge [\dot{\underline{J}}]_{\text{ret}} d\underline{x}' + O(1/r^2). \quad (2.14)$$

Sei also

$$\underline{J}(\underline{x}, t) = \int [\dot{\underline{J}}]_{\text{ret}} d\underline{x}' = \int \underline{J}(\underline{x}', t - \frac{|\underline{x} - \underline{x}'|}{c}) d\underline{x}', \quad (2.15)$$

so haben wir, bis auf  $O(1/r^2)$ ,

$$\left. \begin{array}{l} \underline{E}_{\text{ret}} = \frac{1}{c^2 r} \underline{n} \wedge (\underline{n} \wedge \dot{\underline{J}}), \\ \underline{B}_{\text{ret}} = -\frac{1}{c^2 r} \underline{n} \wedge \dot{\underline{J}} \end{array} \right\} \Rightarrow \underline{E}_{\text{ret}} = \underline{B}_{\text{ret}} \wedge \underline{n}. \quad (2.16)$$



Diese Formeln beschreiben eine lokal ebene Welle.

In genügend grossen Abständen dürfen wir auch  $\underline{I}$  in  $\underline{J}$  austauschen:

$$t_{\text{rel}} = t - \frac{x}{c} + \frac{n \cdot x'}{c} + \mathcal{O}\left(\frac{d^2}{+c}\right) \quad (2.17)$$

(der Entfernungsparameter ist  $d/+$ ). Da wir in den letzten Term in (2.17) vernachlässigen dürfen, sollte sich  $\underline{J}$  in der Zeit  $d/c$  wenig ändern; im zeitlich konservativen Fall bedeutet dies

$$\omega \frac{d^2}{+c} \sim \frac{d^2}{+\lambda} \ll 1. \quad (2.18)$$

Falls  $\lambda \gg d$ , dann ist (2.18) automatisch erfüllt, dann dann folgt aus  $+ \gg \lambda$ ,  $\lambda \gg (\frac{d}{\lambda})^2 \lambda$  die Beziehung  $+ \gg (d/\lambda)^2 \lambda$ .

Ist hingegen  $\lambda \lesssim d$ , dann ist (2.18) nicht in der ganzen Frequenzzone erfüllt, sicher aber für hinreichend grosse Abstände.

Wir ersetzen also jetzt  $\underline{J}$  durch

$$\underline{J} = \int J(x', t - \frac{x}{c} + \frac{n \cdot x'}{c}) dx'. \quad (2.19)$$

Die Gl. (2.16) und (2.19) bilden den Ausgangspunkt für die weitere Diskussion.

Es empfiehlt sich, die Zeitabhängigkeit von  $\underline{J}$  durch ein Fourierintegral darzustellen:

$$\underline{J}(\underline{x}, t) = \int_{\mathbb{R}} \hat{\underline{J}}(\underline{x}, \omega) e^{-i\omega t} d\omega. \quad (2.20)$$

Dann ist

$$\underline{g}(\underline{x}, t) = \int d\omega e^{-i\omega(t-\frac{c}{c})} \int d\underline{x}' \hat{\underline{J}}(\underline{x}', \omega) e^{-i\frac{\omega}{c} \cdot \underline{x}'}$$

Sei  $\underline{k} = \frac{\omega}{c} \underline{n}$  der Wellenzahlvektor und

$$\tilde{\underline{J}}(\underline{k}, \omega) = \int \hat{\underline{J}}(\underline{x}', \omega) e^{-i\underline{k} \cdot \underline{x}'} d\underline{x}' \quad (2.21)$$

so ist also

$$\underline{g}(\underline{x}, t) = \int d\omega \tilde{\underline{J}}(\underline{k}, \omega) e^{i(\underline{k} \cdot \underline{x} - \omega t)}. \quad (2.22)$$

Im monochromatischen Fall

$$J(\underline{x}, t) = \operatorname{Re} (\underline{J}(\underline{x}) e^{i\omega t}) \quad (2.23)$$

ist

$$\underline{g}(\underline{x}, t) = \operatorname{Re} (\tilde{\underline{J}}(\underline{k}) e^{i(\underline{k} \cdot \underline{x} - \omega t)}), \quad (2.24)$$

wo  $\tilde{\underline{J}}(\underline{k})$  die Fouriertransformierte von  $\underline{J}(\underline{x})$  ist. Der zeitlich gemittelte Flussdung-Vektor ist dann

$$\langle \underline{S} \rangle = \frac{c}{4\pi} \langle \underline{B}^2 \rangle \underline{n} \stackrel{(2.16)}{=} \frac{c}{4\pi} \frac{1}{\tau^2} \frac{1}{C^4} \langle |\underline{n} \times \underline{J}|^2 \rangle \underline{n}$$

$$= \frac{1}{\tau^2} \frac{1}{4\pi C^3} \omega^2 \underbrace{\langle |\underline{n} \times \underline{g}|^2 \rangle}_{\frac{1}{2} |\underline{n} \times \tilde{\underline{J}}(\underline{k})|^2} \underline{n},$$

$$\frac{1}{2} |\underline{n} \times \tilde{\underline{J}}(\underline{k})|^2$$

d.h.,

$$\langle \Sigma \rangle = \frac{1}{\tau^2} \frac{1}{8\pi c^3} |\underline{n} \wedge \tilde{\underline{I}}(\underline{k})|^2 \omega^2 \underline{n}. \quad (2.25)$$

Berechnet also  $(d\tilde{I}/d\Omega) d\Omega$  die zeitlich gemittelte abgestrahlte Energie pro Zeiteinheit in das Raumwinkellement  $d\Omega$ , so ist

$$\frac{d\tilde{I}}{d\Omega} = \frac{\omega^2}{8\pi c^3} |\underline{n} \wedge \tilde{\underline{I}}(\underline{k})|^2, \quad \text{und}$$

$$\tilde{\underline{I}}(\underline{k}) = \int \underline{I}(x) e^{i\underline{k} \cdot \underline{x}} dx, \quad \underline{k} = \frac{\omega}{c} \underline{n}.$$

Dies ist eine strene allgemeine Formel.

### Multipolentwicklung

Wir wollen nun zusätzlich zu den bisherigen Bedingungen (2.12) und (2.18) noch annehmen, dass

$\lambda \gg d.$

(2.27)

(Wie im Ausdruck an (2.18) ausgeführt wurde, ist dann die Bedingung (2.18) automatisch erfüllt.)

Wenn (2.27) zutrifft ist die relative zeitliche Änderung von  $\underline{I}$  und  $\rho$  auch klein in der Zeit  $d/c$  die das Licht braucht, um die Quelle zu durchqueren; mit anderen Worten: die Veränderung innerhalb der Quelle ist ein kleiner Effekt.

Wir entziehen deshalb in (2.19) den Integranden:

$$\underline{J}(\underline{x}', t - \frac{\tau}{c} + \frac{\underline{n} \cdot \underline{x}'}{c}) = \underline{J}(\underline{x}', t - \frac{\tau}{c}) + \frac{\underline{n} \cdot \underline{x}'}{c} \dot{\underline{J}}(\underline{x}', t - \frac{\tau}{c}) + \dots \quad (2.28)$$

Der erste Term rechts gibt den folgenden Beitrag zu  $\underline{J}$  :

$$\int \underline{J}(\underline{x}', t - \frac{\tau}{c}) d\underline{x}' = - \int \underline{x}' \nabla \cdot \underline{J} d\underline{x}' = \int \underline{x}' \dot{\rho} d\underline{x}',$$

und dies ist gleich  $\dot{P}(t - \frac{\tau}{c})$ , wenn

$$P(t) = \int \underline{x}' \rho(\underline{x}, t) d\underline{x} \quad (2.29)$$

das zeitabhängige Dipolmoment der Ladungverteilung ist.

Der zweite Term in der Entwicklung (2.28) gibt den folgenden Beitrag zu  $J_m$  :

$$\begin{aligned} \frac{1}{c} u_e \int x'_e J_m d\underline{x}' &= \frac{1}{2c} u_e \underbrace{\int (x'_e \dot{J}_m + x'_m \dot{J}_e)}_{\dot{I}_{em}} d\underline{x}' \\ &\quad + \frac{1}{2c} u_e \underbrace{\int (x'_e \dot{J}_m - x'_m \dot{J}_e)}_{2c \dot{\mu}_{em}} d\underline{x}'. \end{aligned}$$

Dabei seien

$$I_{em} = \int \rho(\underline{x}') x'_e x'_m d\underline{x}', \quad (2.30)$$

$$\mu_{em} = \frac{1}{2} \int (x'_e J_m - x'_m J_e) d\underline{x}'. \quad (2.31)$$

Es gilt

$$\begin{aligned} \dot{I}_{em} &= \int \dot{\rho}(\underline{x}', t) x'_e x'_m d\underline{x}' = - \int \operatorname{div} \underline{J}(\underline{x}', t) x'_e x'_m d\underline{x}' \\ &= \int (J_e x'_m + J_m x'_e) d\underline{x}'. \end{aligned} \quad (2.32)$$

Insgesamt erhalten wir also, bis auf höhere Terme,

$$\underline{S}_m = \underbrace{\dot{\underline{P}}_m(t-\frac{r}{c})}_{\text{elektro. Dipol}} + \underbrace{j_{em}(t-\frac{r}{c})\underline{n}_e}_{\text{magn. Dipol}} + \frac{1}{zc} \underbrace{\ddot{\underline{I}}_{em}(t-\frac{r}{c})\underline{n}_e}_{\text{elektro. Quadrupol}}. \quad (2.33)$$

Unter Annahme des magnetischen Flusses

$$\underline{\mu} = \frac{1}{zc} \int \underline{x} \times \underline{A} d^3x \quad (2.34)$$

für die Stromverteilung, können wir die Dipolanteile wie folgt schreiben

$$\underline{S}^{\text{Dipol}} = \dot{\underline{P}}(t-\frac{r}{c}) + j(t-\frac{r}{c})\underline{n}. \quad (2.35)$$

Im elektrischen Quadrupolanteil dürfen wir  $\underline{I}_{em}$  durch den Quadrupolsensor

$$\underline{Q}_{em} = \underline{I}_{em} - \frac{1}{3} \delta_{em} \underline{I}_{kk} \quad (2.36)$$

ersetzen, denn die abgezogene Spur gilt für  $\underline{S}$  einen Beitrag proportional zu  $\underline{n}$  und liegt deshalb nicht zu den Feldstärken bei (s. (2.16)).

Schreiben wir  $\underline{Q}\underline{n}$  für den Vektor mit den Komponenten  $Q_m n_e$ , so lauten die Feldstärken (2.16)

$$\underline{B} = \frac{1}{zc^2} [\ddot{\underline{P}} \wedge \underline{n} + (\ddot{\underline{j}} \wedge \underline{n}) \wedge \underline{n} + \frac{1}{zc} (\ddot{\underline{Q}} \underline{n}) \wedge \underline{n}]_{\text{rel}}, \quad (2.37)$$

$$\underline{E} = \frac{1}{zc^2} [(\ddot{\underline{P}} \wedge \underline{n}) \wedge \underline{n} + \underline{n} \wedge \ddot{\underline{j}} + \frac{1}{zc} ((\ddot{\underline{Q}} \underline{n}) \wedge \underline{n}) \wedge \underline{n}]_{\text{rel}}. \quad (2.38)$$

Die magnetische Dipolstrahlung geht aus der elektrischen durch folgende Substitution hervor:

$$\underline{E} \rightarrow \underline{B}, \quad \underline{B} \rightarrow -\underline{E}, \quad \underline{P} \rightarrow \underline{\mu}. \quad (2.39)$$

### Abschaltung

Nach (2.16) ist der Poynting Vektor

$$\underline{S} = \frac{c}{4\pi} \underline{E} \wedge \underline{B} = \frac{c}{4\pi} |\underline{E}|^2 \underline{n} = \frac{c}{4\pi} |\underline{B}|^2 \underline{n}. \quad (2.40)$$

Die Intensität der abgestrahlten Energie pro Raumwinkel ist

$$\frac{dI}{d\Omega} = |\underline{S}|^2 = \frac{1}{4\pi c^3} |[\dots]|^2, \quad (2.41)$$

wobei  $[\dots]$  eine der beiden edigen Klammern in (2.37) und (2.38) ist.

Zunächst betrachten wir den häufigsten Fall, bei dem die elektrischen Dipolfelder dominieren. Dann ist

$$\left. \frac{dI}{d\Omega} \right|_{\text{el. Dipol}} = \frac{1}{4\pi c^3} |\ddot{\underline{P}} \wedge \underline{n}|^2 = \frac{1}{4\pi c^3} \ddot{P}^2 \sin^2 \delta, \quad (2.42)$$

$$\delta = \gamma(\ddot{\underline{P}}, \underline{n}).$$

Integrieren wir über alle Richtungen, so ergibt sich die Intensität

$$\boxed{I}_{\text{el. Dipol}} = \frac{2}{3c^3} \ddot{P}^2. \quad (2.43)$$

Für die magnetische Dipolstrahlung müssen wir lediglich

$P$  durch  $\mu$  ersetzen (s. (2.39)):

$$\boxed{I_{\text{unpol. total}} = \frac{2}{3c^3} |\vec{\mu}|^2.} \quad (2.44)$$

Wir betrachten jetzt die elektrische Quadrupolstrahlung.

Nach (2.37) ist

$$\boxed{B_i^{\text{Quad}} = \frac{1}{2+c^3} \epsilon_{ijk} \ddot{\Omega}_{je} u_e n_k.} \quad (2.45)$$

Die zugehörige differentielle Intensität ist nach (2.41) und (2.40)

$$\frac{dI}{d\Omega} = \frac{c}{4\pi} \cdot \frac{1}{4c^6} \epsilon_{ijk} \ddot{\Omega}_{je} u_e n_k \epsilon_{its} \ddot{\Omega}_{tm} n_m n_s$$

$\delta_{jr} \delta_{ks} - \delta_{js} \delta_{kr}$

Oder

$$\boxed{\frac{dI}{d\Omega} = \frac{1}{16\pi c^5} [\ddot{\Omega}_{je} \ddot{\Omega}_{jm} u_e n_m - \ddot{\Omega}_{je} \ddot{\Omega}_{km} u_j u_k n_e n_m].} \quad (2.46)$$

Für die Integration über alle Richtungen benötigen wir folgende Formeln, welche man leicht beweist,

$$\int_{S^2} u_e u_m d\Omega = \frac{4\pi}{3} \delta_{em}, \quad (2.47)$$

$$\int_{S^2} u_j u_k u_l u_m d\Omega = \frac{4\pi}{15} (\delta_{je} \delta_{km} + \delta_{jk} \delta_{ml} + \delta_{jm} \delta_{el}). \quad (2.48)$$

Dann kommt (berücksichtigt  $\Omega_{km}=0$ )

$$\boxed{I^{\text{Quad.}} = \frac{1}{20c^5} \sum_{k \neq e} \ddot{\Omega}_{ke} \ddot{\Omega}_{ce}.} \quad (2.49)$$

Integriert man (2.41) über alle Positionen, so verschwinden alle Kreuzterme der verschiedenen Multipole und man erhält die Summe von (2.43), (2.44) und (2.49):

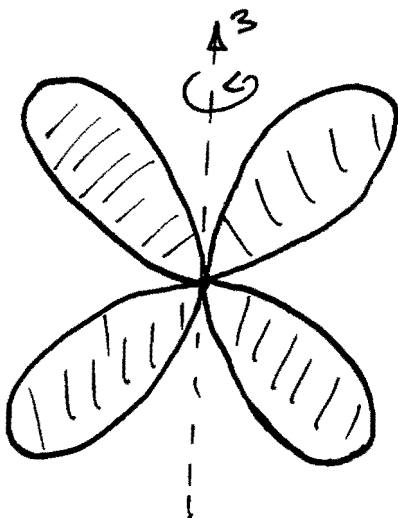
$$I = \frac{2}{3C^3} |\ddot{\vec{P}}|^2 + \frac{2}{3C^3} |\ddot{\vec{\mu}}|^2 + \frac{1}{20C^5} \sum_{kl} \ddot{Q}_{kl} \ddot{Q}_{kl}. \quad (2.50)$$

Beispiel für Quadrupolabteilung: Es sei

$$Q = \text{diag}\left(-\frac{1}{2} Q_0, -\frac{1}{2} Q_0, Q_0\right).$$

Diese Form hat eine um die z-Achse totaloaxialsymmetrische Ladungsverteilung. Gl. (2.46) gibt die folgende Winkelverteilung (s. Fig.):

$$\frac{dI}{d\Omega} = \frac{g}{64\pi C^5} (\ddot{Q}_0)^2 \sin^2 \vartheta \cos^2 \vartheta.$$



Interessante Anwendungen auf Radiopulse behandeln wir in den Übungen.

### IV.3 Der Hertz'sche Dipol

Wir wollen jetzt - ähnlich wie in der Statik - die Felder einer "kleinen" Ladungs- und Stromverteilung (mit Ausdehnung  $d$ ) untersuchen. Wir setzen genauer voraus, dass

$$r \gg d \quad \text{und} \quad \lambda \gg d, \quad (3.1)$$

Über die Beziehung zwischen  $r$  und  $\lambda$  wird aber keine Annahme gemacht.

Als Ausgangspunkt können wir die exakten Ausdrücke (2.6) und (2.8) für die elektromagnetischen Felder benutzen. Es ist aber einfacher mit den Potenzialen  $(A^k) = (\Phi, A)$  zu arbeiten. Die retardierten Lösungen von (II.1.18) (Retardierung!) sind nach § IV.1

$$A^k = \frac{4\pi}{c} G * j^k, \quad (3.2)$$

d.h.)

$$\Phi(\underline{x}, t) = \int \frac{\rho(\underline{x}', t - \frac{|\underline{x}-\underline{x}'|}{c})}{|\underline{x}-\underline{x}'|} d^3x', \quad (3.3)$$

$$A(\underline{x}, t) = \frac{1}{c} \int \frac{\underline{J}(\underline{x}', t - \frac{|\underline{x}-\underline{x}'|}{c})}{|\underline{x}-\underline{x}'|} d^3x'. \quad (3.4)$$

Nach unseren Annahmen (3.1) dürfen wir wieder nach der Retardierung innerhalb der Quellen entreden: Da (2.18), d.h.  $d^2/\lambda^2 \ll 1$ , nach (3.1) erfüllt ist, ist

Der letzte Term in (2.17) vernachlässigbar,

$$t_{\text{ret}} \approx t - \frac{r}{c} + \frac{\underline{n} \cdot \underline{x}'}{c},$$

und wir erhalten z.B.

$$\begin{aligned} [\rho]_{\text{ret}} &= \rho(\underline{x}', t - \frac{r}{c} + \frac{\underline{n} \cdot \underline{x}'}{c}) \\ &= \rho(\underline{x}', t - \frac{r}{c}) + \frac{\underline{n} \cdot \underline{x}'}{c} \dot{\rho}(\underline{x}', t - \frac{r}{c}) + \dots \end{aligned} \quad (3.5)$$

Wir entsprechen zuerst den Integranden in (3.3) bis zur ersten Ordnung in  $d/r$  und  $d/\lambda \sim \frac{d}{c} \partial_t$ :

$$\frac{[\rho]_{\text{ret}}}{|\underline{x} - \underline{x}'|} = \frac{\rho(\underline{x}', t - \frac{r}{c})}{r} + \frac{\underline{n} \cdot \underline{x}'}{r^2} \rho(\underline{x}', t - \frac{r}{c}) + \frac{1}{c} \frac{\underline{n} \cdot \underline{x}'}{r} \dot{\rho}(\underline{x}', t - \frac{r}{c}) + \text{höhere Ord.} \quad (3.6)$$

Bezeichnen  $\underline{Q}$  die Gesamtkladung und  $\underline{P}$  das Dipolmoment der Ladungsverteilung, so erhalten wir also für das Skalarpotential in hinterster Näherung

$$\boxed{\Phi(\underline{x}, t) = \frac{\underline{Q}}{r} + \frac{1}{r^2} \underline{n} \cdot \underline{P}(t - \frac{r}{c}) + \frac{1}{cr} \underline{n} \cdot \dot{\underline{P}}(t - \frac{r}{c})}. \quad (3.7)$$

Für das Vektorpotential  $\underline{A}$  müssen wir in (3.6)  $\rho$  durch  $\underline{J}$  ersetzen. Bei der Umformung der resultierenden Integralen benötigen wir zwei Identitäten:

Aus

$$\underbrace{\int \delta_k(x_k J_k) d^3x}_{J_k + x_k \nabla \cdot \underline{J}} = 0 = \int J_k d^3x - \int x_k \dot{\rho} d^3x$$

folgt als erste Identität

$$\int \underline{J} d^3x = \dot{\underline{P}}. \quad (3.8)$$

Ahnlich können wir weiterfahren

$$0 = \int \partial_e(x_k x_s J_e) d^3x = \int (J_k x_s + J_s x_k + x_k x_s \underbrace{\nabla \cdot \underline{J}}_{-\dot{\underline{P}}}) d^3x \\ \Rightarrow \int J_k x_s d^3x = - \int J_s x_k d^3x + \int \dot{\underline{P}} x_k x_s d^3x. \quad (3.9)$$

Multipplizieren wir die letzte Gleichung mit einem konstanten Vektor  $\underline{a}_s$ , so ergibt sich

$$\int (\underline{a} \cdot \underline{x}) \underline{J} d^3x = - \int \underline{x} (\underline{J} \cdot \underline{a}) d^3x + \int \underline{x} (\underline{a} \cdot \underline{x}) \dot{\underline{P}} d^3x. \quad (3.10)$$

In der Anwendung auf unser Problem dürfen wir in dieser Identität den letzten Term weglassen, da er von der Ordnung  $d^2/c^2$  (Quadrupol) ist. In dieser Näherung bleibt

$$\int (\underline{a} \cdot \underline{x}) \underline{J} d^3x = \frac{1}{2} \int [\underline{a} \cdot \underline{x} \underline{J} - \underline{x} \underline{J} \cdot \underline{a}] d^3x \\ = -\frac{1}{2} \int \underline{a} \wedge (\underline{x} \wedge \underline{J}) d^3x. \quad (3.11)$$

Bezeichnet  $\underline{\mu}$  das magnetische Moment der Raumverteilung, so erhalten wir in der grössten Näherung, mit (3.8), (3.11),

$$\underline{A}(\underline{x}, t) = \frac{1}{c^2} \dot{\underline{P}}(t - \frac{r}{c}) - \frac{1}{r^2} \underline{n} \wedge \underline{\mu}(t - r/c) - \frac{1}{cr} \underline{n} \wedge \dot{\underline{\mu}}(t - r/c). \quad (3.12)$$

Wir wollen die Felder  $\underline{E}$  und  $\underline{B}$  nur für den Fall berechnen, dass  $Q=0$  ist und  $\mu$  vernachlässigt werden kann. Man spricht dann von einem Hertzschen Dipol. Dann ist

$$\varphi(x,t) = \frac{1}{r^2} \underline{n} \cdot \underline{P}(t-r/c) + \frac{1}{rc} \underline{n} \cdot \dot{\underline{P}}(t-r/c)$$

oder

$$\underline{\varphi} = -\nabla \cdot \underline{\Xi} \quad (3.13)$$

und

$$\underline{A} = \frac{1}{c} \dot{\underline{\Xi}}, \quad (3.14)$$

wobei

$$\underline{\Xi} = \frac{1}{r} \underline{P}(t-r/c) \quad (3.15)$$

der sog. Hertz'sche Vektor ist. Für die Felder findet man leicht (Übung):

$$\underline{B} = -\underline{n} \times \left[ \frac{1}{c^2 r} \ddot{\underline{P}} + \frac{1}{c r^2} \dot{\underline{P}} \right], \quad (3.16)$$

$$\begin{aligned} \underline{E} &= \frac{1}{c^2 r} [(\ddot{\underline{P}} \cdot \underline{n}) \underline{n} - \ddot{\underline{P}}] \\ &\quad + \frac{1}{c r^2} [3(\dot{\underline{P}} \cdot \underline{n}) \underline{n} - \dot{\underline{P}}] \\ &\quad + \frac{1}{r^3} [3(\underline{P} \cdot \underline{n}) \underline{n} - \underline{P}]. \end{aligned} \quad (3.17)$$

Dabei sind überall die retardierten Zeiten  $t-r/c$  in  $\underline{P}, \dot{\underline{P}}$ ,  $\ddot{\underline{P}}$  zu nehmen.

Auflösse eines elektrischen Hertzschen Oszillators könnte man auch einen magnetischen beobachten:  $\underline{E} \rightarrow \underline{B}$ ,  $\underline{B} \rightarrow -\underline{E}$ ,  $\underline{P} \rightarrow \underline{n}$ . Beispiel: Pulsar (= rotierender magnetischer Neutronenstern); siehe Übungen.

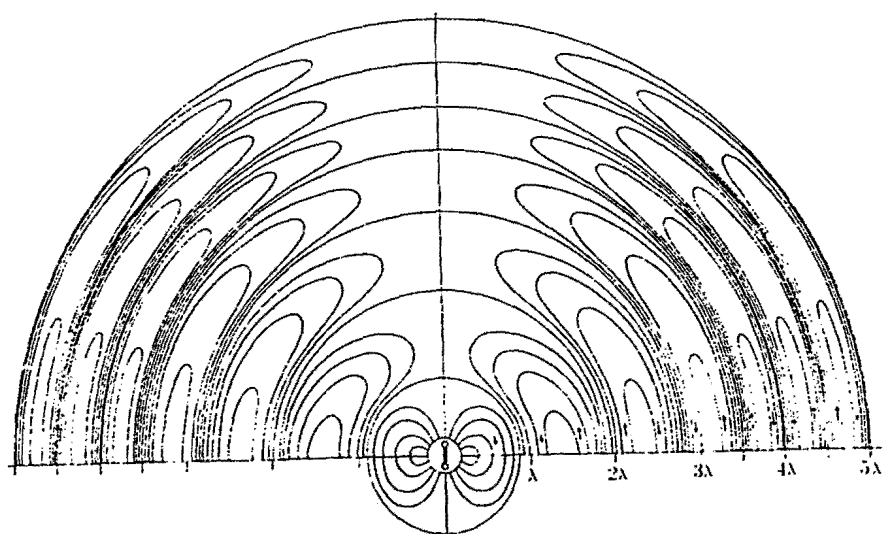
Wir diskutieren die relative Wichtigkeit der verschiedenen Terme. Für  $r \rightarrow \infty$  überwiegen die Terme  $\sim 1/r$ . In welchem Sinn muss  $r$  gross sein? Dazu betrachten wir den zeitlich harmonischen Fall  $\sim e^{i\omega t}$ . Dann ist  $\frac{1}{c} \frac{\partial}{\partial t} r - i\omega c = \omega/\lambda$ . Die drei Terme des elektrischen Feldes haben dann die Grössenordnung:  $\frac{1}{r\lambda^2}, \frac{1}{r^2\lambda}, \frac{1}{r^3}$ .

In der Nahzone  $r \ll \lambda$  überwiegt der letzte; dieser erzeugt ein statisches elektrisches Dipolfeld, das dem Dipol  $P(t)$  wortäuglich folgt;  $B$  ist sehr klein gegen  $E$ .

In der Induktionszone  $r \approx \lambda$  wird  $B$  von gleicher Grössenordnung wie  $E$ . In diesem Gebiet wird  $B$  durch die Induktionswirkung des Verschiebungsspaltes "erregt".

In der Wellenzone  $r \gg \lambda$  überwiegen die Terme  $\sim \frac{1}{r}$ . Diese sind uns schon vertraut (s. (2.37, 38)).

Die elektrischen Feldlinien eines horizontalen Dipols sind in der nachstehenden Fig. gezeigt.



## IV.4 Das Feld einer bewegten Punktladung

Wir wollen nun das elektromagnetische Feld einer beliebig bewegten Punktladung studieren. Dabei interessieren wir uns speziell für die totale und spektrale Abschaltung eines beschleunigten Teilchens (Synchrotronstrahlung). Diese spielt u.a. in der Astrophysik eine sehr wichtige Rolle.

Die Punktladung (Ladung  $e$ ) bewege sich längs einer Weltlinie  $\underline{z}^k(\tau)$  ( $\tau$ : Eigenzeit). Die 4er-Geschwindigkeit  $\dot{\underline{z}}^k$  ( $\cdot = d/d\tau$ ) bezeichnen wir wie früher mit  $\underline{u}^k(\tau)$ .

Ich behaupte, dass sich die 4er-Stromichte folgendermaßen als Weltlinien-Integral darstellen lässt:

$$\underline{j}^k(x) = e c \int \delta^4(x - \underline{z}(\tau)) \dot{u}^k(\tau) d\tau. \quad (4.1)$$

Begründung: Die (disributiven) Ladungs- und Stromdichten sind

$$\rho(x, t) = e \delta^3(x - \underline{z}(t)), \quad (4.2)$$

$$\underline{J}(x, t) = e \frac{d\underline{z}}{dt} \delta^3(x - \underline{z}(t)). \quad (4.3)$$

Somit ist die 4er-Stromichte zunächst

$$\underline{j}^k(x) = e \frac{d\underline{z}^k}{dt} \delta^3(x - \underline{z}(t)). \quad (4.4)$$

Nun sei  $\lambda$  irgend ein Kurvenparameter der Weltlinie des Teilchens. Dann ist das Integral

$$e c \int \frac{d\underline{z}^k}{d\lambda} \delta^4(x - \underline{z}(\lambda)) d\lambda$$

offensichtliche Abhängigkeit von  $\lambda$ . Für  $\lambda = z^0/c$  ( $=$  Laufzeit des Teilchens) lässt sich die  $\lambda$ -Integration trivial ausführen und gibt gerade den Ausdruck (4.4). Daraus folgt die Behauptung für  $\lambda = \pi$ .

Ausgangspunkt ist die inhomogene Wellengleichung

$$\square A^k = \frac{4\pi}{c} j^k \quad (4.5)$$

für das 4er-Potential in der Lorentz-Erfassung. Bezeichne  $G_1$  wie früher die retardierte Greenfunktion, dann lautet die retardierte Lösung von (4.5)

$$A^k = \frac{4\pi}{c} G_1 * j^k. \quad (4.6)$$

Hier sehen wir den diskontinuiven Strom (4.1) ein:

$$A^k(x) = 4\pi e \int u^k(\tau) \underbrace{G_1 * \delta^4(x - z(\tau))}_{G_1(x - z(\tau))} d\tau$$

Nun bemerkten wir, dass sich  $G_1$  folgendermassen schreiben lässt (s. Fussnote 1)

$$G_1(x) = \frac{\Theta(t)}{2\pi} \delta(x^2). \quad (4.7)$$

Somit finden wir das Zwißenergebnis

$$A^k(x) = 2e \int d\tau u^k(\tau) \Theta(x^0 - z^0(\tau)) \delta((x - z(\tau))^2). \quad (4.8)$$

Jetzt bemerkten wir die folgende allgemeine Tabelle:

Sei  $f(u)$  eine stetig differenzierbare Funktion mit einer einfachen Nullstelle bei  $u_0$ , dann gilt

$$\delta(f(u)) = \frac{\delta(u-u_0)}{|f'(u_0)|} \quad (4.9)$$

(siehe HMP, oder die Fußnote 2 unten). In (4.8) verwenden wir dies für

$$f(\tau) = (x - z(\tau))^2, \quad x^0 > z^0(\tau). \quad (4.10)$$

Die einfache Nullstelle  $\tau_0$  ist durch  $(x - z(\tau_0))^2 = 0$  bestimmt (s. Fig.).

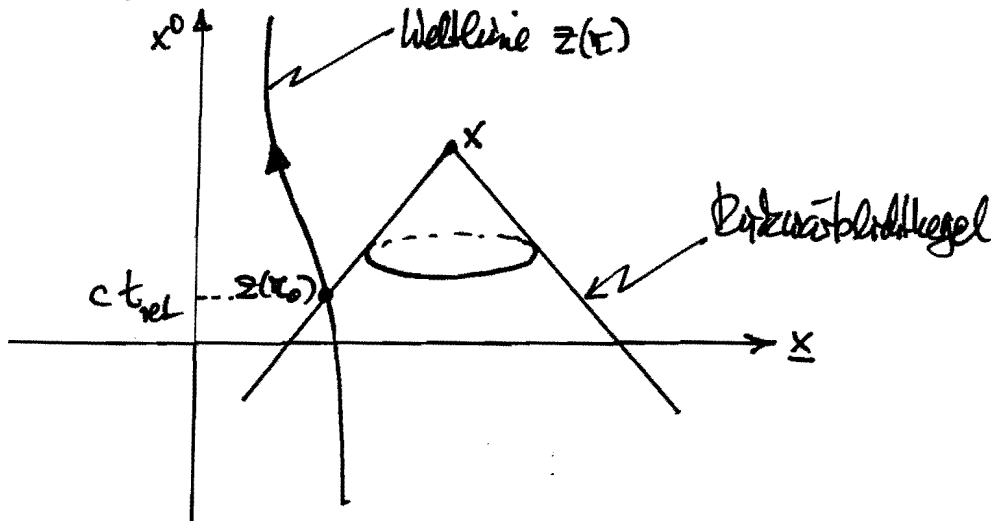


Fig. Graphische Darstellung von  $(x - z(\tau_0))^2 = 0$ ,  $x^0 > z^0(\tau)$ .

Dann folgt aus (4.8)

$$A^k(x) = \left. \frac{e^{uk}}{u \cdot (x - z(\tau))} \right|_{\tau=\tau_0}. \quad (4.11)$$

Bevor wir dies weiterverwenden, wollen wir noch die benötigten Hilfsmittel näher erläutern.

Fussnoten. 1. Wir hatten in (1.11)

$$G(x, t) = \frac{1}{4\pi|x|} \Theta(t) \delta(|x| - ct).$$

Nun ist für  $t > 0$  (da  $\delta(a u) = \frac{1}{|a|} \delta(u)$ ) :

$$\delta(x^2) = \delta([|x|-ct] [ |x|+ct]) = \underbrace{\frac{1}{2|x|}}_{\downarrow z|x|} \delta(|x|-ct), \quad (4.12)$$

Gut wollen dies zw. Abhängigkeit von  $\omega$  begründen. Es ist für  $t > 0$

$$\langle \delta(x^2), f \rangle = \int \limits_{\text{Vorab-} \atop \text{Lichtkegel}} f \omega, \quad (4.13)$$

wo  $\omega$  die Lebesgue-Form zw. Funktion  $x^2$  ist (s. MHP-Skript, § VI.10). Um diese zu finden, müssen wir

$$d(x^2) \wedge \underbrace{dx^1 \wedge dx^2 \wedge dx^3}_{\begin{matrix} 2x^0 \\ \equiv \sigma \end{matrix}} = dx^0 \wedge dx^1 \wedge dx^2 \wedge dx^3:$$

Volumenform der Minkowski-Raumzeit.

Es ist  $\omega = i^* \sigma$ , wenn  $i$  die Inklusion des Vorab-Lichtkegels in die Minkowski-Raumzeit bezeichnet. Wir haben also

$$\omega = \frac{dx^1 \wedge dx^2 \wedge dx^3}{2|x|} \quad (4.14)$$

und somit

$$\langle \Theta(t) \delta(x^2), f \rangle = \int f(x, x^0=|x|) \frac{dx^3}{2|x|}. \quad (4.15)$$

Anderseits gilt natürlich

$$\langle G, f \rangle = \frac{1}{4\pi} \int_{|x|=1} \frac{f(x, x^0=1 \otimes 1)}{|x|} dx , \quad (4.16)$$

Dann (4.7) streng bewiesen ist.

2. Nun beschäftigen wir uns mit (4.9). Die einzige sinnvolle Definition von  $\delta(f)$ ,  $f$  eine differenzierbare Funktion einer Variablen, ist folgende: Es sei  $\delta_n$  eine Dirac-Folge von Funktionen (s. MHP), etwa in  $L^1(\mathbb{R})$ . Es gilt also in  $\mathcal{S}'$ :  $\delta_n \rightarrow \delta$  für  $n \rightarrow \infty$  (wenn man die  $\delta_n$  als Distributionen auffasst). Die Zusammensetzung  $\delta_n(f) = \delta_n \circ f$  ist definiert, und wir verlangen natürlich

$$\lim_{n \rightarrow \infty} \langle \delta_n \circ f, \varphi \rangle = : \langle \delta(f), \varphi \rangle , \quad \varphi \in \mathcal{S} .$$

Nun ist die linke Seite ( $f$  in der Nähe der einzigen Nullstelle  $u_0$  von  $f$  unklarbar)

$$\begin{aligned} \lim_{n \rightarrow \infty} \langle \delta_n \circ f, \varphi \rangle &= \lim_{n \rightarrow \infty} \int \delta_n(f(x)) \varphi(x) dx \\ &= \lim_{n \rightarrow \infty} \int \delta_n(y) \varphi(f^{-1}(y)) \frac{dy}{|f'(f^{-1}(y))|} = \varphi(f^{-1}(0)) / |f'(f^{-1}(0))| \\ &= \varphi(u_0) / |f'(u_0)| = \left\langle \frac{\delta(u-u_0)}{|f'(u_0)|}, \varphi \right\rangle . \end{aligned}$$

Dann erhalten wir (4.9).

Wir schreiben die kompakte Formel (4.11) noch in einer  $(3+1)$ -Zerlegung aus. Nach Definition ist

$$x^0 - z^0(t_0) = |\underline{x} - \underline{z}(t_0)| =: R . \quad (4.17)$$

Mit  $u = \gamma(c, v)$  haben wir ferner an der Stelle  $t_0$

$$u \cdot (x-z) = u^0(x^0 - z^0) - u \cdot (\underline{x} - \underline{z}) = \gamma c R - \gamma v \cdot (\underline{x} - \underline{z}) ,$$

d.h.,

$$u \cdot (x-z)|_{t_0} = \gamma c R (1 - \beta \cdot \underline{v}), \quad \underline{v} := \frac{\underline{x} - \underline{z}}{|\underline{x} - \underline{z}|} . \quad (4.18)$$

Da  $(A^\mu) = (\varphi, \underline{A})$ , folgt damit aus (4.11):

$$\varphi(x, t) = \left[ \frac{e}{(1-\beta \cdot \underline{v}) R} \right]_{\text{ret}}, \quad \underline{A}(x, t) = \left[ \frac{e \beta}{(1-\beta \cdot \underline{v}) R} \right]_{\text{ret}} . \quad (4.19)$$

(Lienard-Wiechert-Potenziale)

Dabei bedeutet "ret", dass die Ausdrücke zur retardierten Zeit

$$t_{\text{ret}} = \frac{z^0(t_0)}{c} \quad (\text{s. die Fig. auf S. IV.26}) \quad \text{zu nehmen sind.}$$

Nach (4.17) haben wir

$$t_{\text{ret}} = t - \frac{R}{c} = t - \frac{|\underline{x} - \underline{z}(t_{\text{ret}})|}{c} . \quad (4.20)$$

(Dies ist eine implizite Gleichung für  $t_{\text{ret}}$ .)

Feldstärken. Wir können die  $F_{\mu\nu}$  ausgelandt von (4.11) bestimmen. Es ist aber einfacher, auf die Integraldarstellung (4.8) von  $A^\mu$  zurückzugehen. Bilden wir davon  $\partial^\nu A^\mu$ , so erhält

Folgendes zu beachten: Bei der Differenziation brauchen wir  $\theta(x^0 - z^0(\tau))$  nicht ableiten, da dafür  $x^0 = z^0(\tau)$  sein müsste, weshalb aus dem  $\delta$ -Faktor in (4.8)  $\delta(-R^2)$  würde. Deshalb erhalten wir für  $R \neq 0$  keinen Beitrag. Somit kommt

$$\partial^k A^k = ze \int d\tau u^k(\tau) \theta(x^0 - z^0(\tau)) \partial^k \delta((x - z(\tau))^2).$$

Nun bemerkten wir, mit der Beziehung (4.10),

$$\begin{aligned} \partial^k \delta(f) &= \delta'(f) \partial^k f = \frac{\partial^k f}{d\tau / d\tau} \frac{d}{d\tau} \delta(f) \\ &\quad \left[ \frac{d}{d\tau} \delta(f) = \delta(f) \frac{df}{d\tau} \right] \\ &= \frac{2(x^0 - z^0)}{-2(x - z) \cdot u} \frac{d}{d\tau} \delta(f). \end{aligned}$$

Dann erhalten wir, nach einer partiellen Integration,

$$\partial^k A^k = ze \int d\tau \frac{d}{d\tau} \left[ \frac{(x^0 - z^0)^k u^k}{(x - z) \cdot u} \right] \theta(x^0 - z^0(\tau)) \delta((x - z(\tau))^2). \quad (4.21)$$

Dies ist ein Integral vom gleichen Typ wie (4.8). Auf dieselbe Weise bekommen wir deshalb

$$F^{k\mu}(x) = \left. \frac{e}{u \cdot (x - z)} \frac{d}{d\tau} \left[ \frac{(x^0 - z^0) u^k - (x^0 - z^0) u^k}{u \cdot (x - z)} \right] \right|_{\tau=\tau_0}. \quad (4.22)$$

Unter Benutzung von  $\frac{d}{d\tau} [u \cdot (x - z)] = \underbrace{u \cdot u}_{\text{!}} + \frac{du}{d\tau} \cdot (x - z)$  führen wir die Ableitungen in (4.22) nach  $^C_2$  aus. Innerer an

der Stelle  $t_0$  genommen, ergibt sich

$$F^{k\gamma} = \frac{e}{u \cdot (x-z)} \left\{ \frac{(x \cdot L^{2k}) \frac{du^\gamma}{dt} - (x^\gamma - z^\gamma) \frac{dU^k}{dt}}{u \cdot (x-z)} + \frac{(x \cdot L^{2k}) u^\gamma - (x^\gamma - z^\gamma) U^k}{[u \cdot (x-z)]^2} \left[ c^2 - \frac{du \cdot (x-z)}{dt} \right] \right\}. \quad (4.23)$$

Dies spalten wir wieder in Raum und Zeit. dazu Se-  
tzen wir (s. (4.17) und (4.18)):

$$x-z = (R, R \underline{n}), \quad u = \gamma c(1, \underline{\beta}), \quad u \cdot (x-z) = \gamma c R (1 - \underline{\beta} \cdot \underline{n}). \quad (4.24)$$

Ferner benötigen wir die der Beschleunigung  $d\dot{u}/dt$ . Nun

z1

$$\frac{d\underline{f}}{dt} = \frac{d\underline{f}}{\sqrt{1-\underline{\beta}^2} dt} = \gamma \frac{d}{dt} \frac{1}{\sqrt{1-\underline{\beta}^2}} = \gamma^4 \underline{\beta} \cdot \dot{\underline{\beta}}$$

(von jetzt an bezeichne ein Punkt Ableitungen nach t),

also

$$\frac{d}{dt}(\gamma \underline{\beta}) = \gamma^4 (\underline{\beta} \cdot \dot{\underline{\beta}}) \underline{\beta} + \gamma^2 \dot{\underline{\beta}}.$$

Dann?

$$\frac{dU^k}{dt} = (c \gamma^4 \underline{\beta} \cdot \dot{\underline{\beta}}, c \gamma^2 \dot{\underline{\beta}} + c \gamma^4 (\underline{\beta} \cdot \dot{\underline{\beta}}) \underline{\beta}). \quad (4.25)$$

Aus (4.24) und (4.25) ergibt sich auch

$$\frac{du \cdot (x-z)}{dt} = R c \gamma^4 \underline{\beta} \cdot \dot{\underline{\beta}} - R c [\gamma^2 \underline{n} \cdot \dot{\underline{\beta}} + \gamma^4 (\underline{\beta} \cdot \dot{\underline{\beta}}) (\underline{n} \cdot \underline{\beta})] \quad (4.26)$$

Nun überzeugen wir uns zuerst, dass aus (4.23)

$$\underline{B} = \underline{n} \wedge \underline{E} \quad (4.27)$$

folgt. Dazu vergleichen wir die entsprechenden Propagatordichtenfaktoren der beiden Zeilen von (4.23) zu  $\underline{E}$  und  $\underline{B}$ . Der Anteil zum  $\underline{E}$ -Feld der 2. Zeile ist proportional zu

$$(x^0 - z^0) u^i - (x^i - z^i) u^0 \rightarrow R \underline{u} - R \underline{n} u^0 = R \gamma c (\underline{\beta} - \underline{n}).$$

Der entsprechende Faktor für  $F^{ij}$  ist

$$(x^i - z^i) u^j - (x^j - z^j) u^i \rightarrow R \underline{n} \lambda \underline{u} = R \gamma c \underline{n} \lambda \underline{\beta} \\ = R \gamma c \underline{n} \lambda (\underline{\beta} - \underline{n}) \text{ für } \underline{B}.$$

Also stehen diese Anteile tatsächlich in der Beziehung von (4.27). Entsprechend erhält man aus der 1. Zeile die Faktoren

$$\underline{E}: \quad R \frac{du}{dt} - R \underline{n} \frac{du^0}{dt};$$

$$\underline{B}: \quad R \underline{n} \lambda \frac{du}{dt} = \underline{n} \lambda \left[ R \frac{du}{dt} - R \underline{n} \frac{du^0}{dt} \right]. \checkmark$$

Wir benötigen deshalb nur das  $\underline{E}$ -Feld ( $F^{0i} = -E_i$ ).

Die Terme, in denen die  $\underline{n}$ -Beschleunigung nicht vorkommt sind den <sup>nach</sup> durchgeführten Reduktionen gleich

$$\frac{ec^2}{[u \cdot (x-z)]^3} R \gamma c (\underline{n} - \underline{\beta}) = \frac{ec^2}{(\gamma c R)^3 (1 - \underline{\beta} \cdot \underline{n})^3} = e \frac{\underline{n} - \underline{\beta}}{\gamma^2 (1 - \underline{\beta} \cdot \underline{n})^3 R^2} \Big|_{\text{net}} \quad (4.28)$$

Die Terme proportional zu den Komponenten der  $\underline{n}$ -Beschleunigung geben den folgenden Beitrag zu  $\underline{E}$  (s. oben):

$$- \frac{e}{[u \cdot (x-z)]^2} \left[ R \frac{du}{dt} - R \underline{n} \frac{du^0}{dt} \right] \leftarrow 1. \text{ Zeile in (4.23)};$$

$$- \frac{e}{[u \cdot (x-z)]^3} R \gamma c (\underline{n} - \underline{\beta}) \frac{du}{dt} \cdot (x-z) \leftarrow 2. \text{ Zeile in (4.23)}.$$

Hier sehen wir die oben zusammengestellten Ausdrücke ein und erhalten

$$1. \text{ Zeile} = -\frac{e}{(\gamma CR)^2(1-\beta \cdot u)^2} RC [\gamma^2 \dot{\beta} + \gamma^4 (\beta \cdot \dot{\beta}) \dot{f} - \gamma^4 (\beta \cdot \dot{\beta}) u]$$

$$= \frac{e}{c} \frac{1}{(1-\beta \cdot u)^2 R} [\underline{\gamma^2 (\beta \cdot \dot{\beta}) (u - \beta)} - \dot{\beta}] ;$$

$$2. \text{ Zeile} = -\frac{e}{(\gamma CR)^3(1-\beta \cdot u)^3} R \gamma C (u - \beta) RC [\gamma^4 \beta \cdot \dot{\beta} - \gamma^2 u \cdot \dot{\beta} - \gamma^4 (\beta \cdot \dot{\beta}) u \cdot \beta]$$

$$= \frac{e}{c} \frac{1}{(1-\beta \cdot u)^3 R} (u - \beta) [\underline{u \cdot \dot{\beta}} - \underline{\gamma^2 (\beta \cdot \dot{\beta}) (1 - u \cdot \beta)}].$$

Die unterschiedenen Terme heben sich weg und wir erhalten für den Anteil des  $\underline{E}$ -Feldes linear in  $\dot{\beta}$

$$\frac{e}{c} \frac{1}{(1-\beta \cdot u)^3 R} \underbrace{[(u \cdot \dot{\beta})(u - \beta) - (1 - \beta \cdot u) \dot{\beta}]}_{u \wedge ((u - \beta) \wedge \dot{\beta})}. \quad (4.29)$$

Insgesamt erhalten wir für das  $\underline{E}$ -Feld die Summe von (4.28) und (4.29) :

$$\boxed{\underline{E} = e \left[ \frac{u - \beta}{\gamma^2 (1 - \beta \cdot u)^3 R^2} \right]_{\text{rel}} + \frac{e}{c} \left[ \frac{1}{(1 - \beta \cdot u)^3 R} u \wedge ((u - \beta) \wedge \dot{\beta}) \right]_{\text{rel}}} \quad (4.30)$$

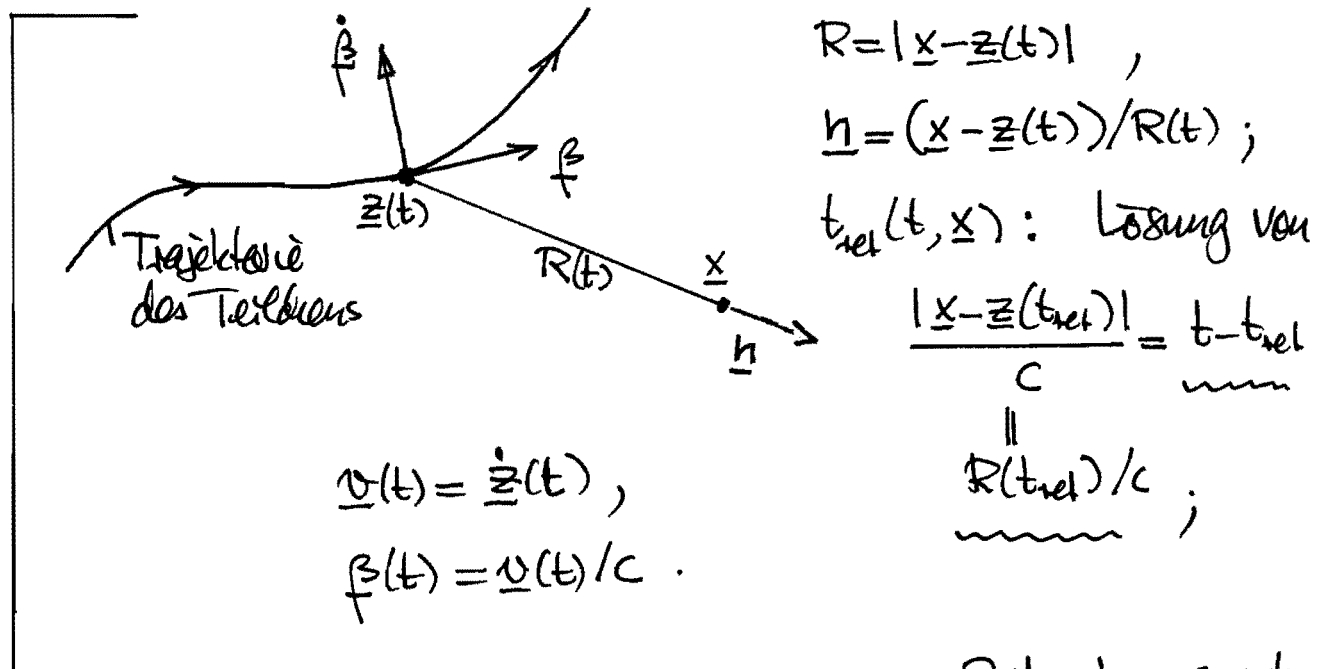
Durch (4.30) und und (4.22) sind die Felder explizit bestimmt. Die zugehörigen Potentiale (4.19) nennt man die Lienhard-Wiedert-Potentiale. Der erste Term in (4.30) ist

das Feld einer gleichförmig bewegten Punktladung, welches wir schon in § II.1 E studiert haben. Dieses fällt mit  $R^{-2}$  ab, während der zweite Term in (4.30) – proportional zu  $\beta$  – mit  $R^{-1}$  abnimmt und deshalb die Abstreuung bestimmt. Der zugehörige Energiefloss ist in Richtung  $\underline{n}$  und hat die Größe

$$\underline{S} \cdot \underline{n} = \frac{c}{4\pi} |\underline{E}|^2 = \frac{1}{4\pi R^2} \frac{e^2}{c} \left[ \frac{1}{(1-\beta \cdot \underline{n})^6} |\underline{n} \wedge ((\underline{n} \cdot \underline{\beta}) \wedge \underline{\beta})|^2 \right]. \quad (4.31)$$

Notiere, dass die Richtung des Vektors innerhalb des Absolutbelegs die Richtung des  $E$ -Feldes ist. Dies ist für die Diskussion der Polarisationsverhältnisse wichtig.

Wir halten an dieser Stelle die Notationen in (4.30) und (4.31) nochmals fest (s. Fig.):



In (4.30) und (4.31) sind alle Größen zur Zeit  $t_{\text{rel}}$  zu nehmen.

\* \* \*

## IV.5 Strahlung von beschleunigten Punktladungen

Der Ausdruck (4.31) gibt die pro Zeiteinheit und Flächen-einheit in Richtung  $\underline{n}$  (am Aufpunkt) abgestrahlte Energie zu Zeit  $t$ . Diese Strahlung wurde zu Zeit  $t_{\text{rel}} = t - R(t_{\text{rel}})/c$  emittiert. Interessanter für uns ist die Energie, die das Teilchen auf seiner Bahn pro reduzierte Zeiteinheit verliert. Wegen

$$\frac{dt}{dt_{\text{rel}}} = 1 - \underline{n} \cdot \underline{\beta} \quad (\text{s.1})$$

Ist diese Strahlungsleistung in den Raumwinkel  $d\Omega$ ,

$$\frac{dP(t_{\text{rel}})}{d\Omega} = R^2(S \cdot \underline{n}) \frac{dt}{dt_{\text{rel}}} , \quad (\text{s.2})$$

gegeben durch

$$\boxed{\frac{dP}{d\Omega} = \frac{e^2}{4\pi c} \frac{1}{(1-\underline{\beta} \cdot \underline{n})^5} \underbrace{|\underline{n} \wedge ((\underline{n}-\underline{\beta}) \wedge \dot{\underline{\beta}})|^2}_{\text{Richtung des } \underline{E}\text{-Feldes}} .} \quad (\text{s.3})$$

Diese wichtige Formel wollen wir nun in mehrfacher Weise anwenden.

Weltkavitations-Grenzfall ( $\beta \ll 1$ ): Dieser Fall ist z.B. in Röntgengeräten realisiert. Wenn Elektronen in Metallen abgebremst werden, führt dies zu einer elektromagnetischen Strahlung, der sog. Bremsstrahlung. Aus (s.3) wird unverg-

Werte

$$\frac{dP}{d\Omega} = \frac{e^2}{4\pi c} \underbrace{| \underline{n} \wedge (\underline{u} \wedge \dot{\underline{\beta}}) |^2}_{\text{Polarisationsstellung}}. \quad (5.4)$$

Ist  $\theta = \angle(\underline{n}, \dot{\underline{\beta}})$ , so ist

$$\frac{dP}{d\Omega} = \frac{e^2}{4\pi c^3} \underline{v}^2 \sin^2 \theta. \quad (5.5)$$

Die gesamte Strahlungsleistung beträgt

$$P = \frac{2e^2}{3c^3} \underline{v}^2 \quad (\text{Larmor'sche Formel}). \quad (5.6)$$

Auch im allgemeinen Fall (5.3) lässt sich die Winkelintegration auf etwas hinreichen führen. Dies kann man sich aber mit einer einfachen relativistischen Überlegung ersparen: Da die abgesetzte Energie  $dE_s$  in der Zeit  $dt_{\text{rel}}$  gleich  $P dt_{\text{rel}}$  ist und  $dE_s$  die  $\hat{0}$ -Komponente eines 4-Vektors ist, muss  $P$  lorentzinvariant sein. Außerdem darf  $P$  nur von  $\beta$  und  $\dot{\beta}$  abhängen, wie ein Blick auf (5.3) zeigt. Durch diese Forderungen und den nichtrelativistischen Grenzfall (5.6) ist nun  $P$  eindeutig bestimmt. Um dies zu sehen, schreiben wir (5.6) in der suggestiveren Form

$$P = \frac{2e^2}{3m^2 c^3} \frac{dp}{dt} \cdot \frac{dp}{dt}.$$

Eine lorentzinvante Verallgemeinerung ist der folgende

Ausdrücke

$$P = -\frac{ze^2}{3mc^2} \cdot \frac{dp}{dt} \cdot \frac{dp}{dt}. \quad (5.7)$$

Dies ist auch die einzige Möglichkeit, denn wir haben nur die 4er-Vektoren  $p$  und  $\frac{dp}{dt}$  zur Verfügung. Wegen  $p \cdot p = mc^2$  ist aber  $p \cdot \frac{dp}{dt} = 0$ .

Wir wollen (5.7) durch  $\beta$  und  $\dot{\beta}$  ausdrücken. Dazu greifen wir auf (4.25), d.h.,

$$\frac{dp}{dt} = mc(\gamma^4 \beta \cdot \dot{\beta}, \gamma^2 \dot{\beta} + \gamma^4 (\beta \cdot \dot{\beta}) \beta) \quad (5.8)$$

zurück. Die Minkowski-„Länge“ davon ist

$$\begin{aligned} -\frac{dp}{dt} \cdot \frac{dp}{dt} &= m^2 c^2 \gamma^6 \left[ (\beta \cdot \dot{\beta})^2 \beta^2 \dot{\beta}^2 + \frac{1}{\gamma^2} \dot{\beta}^2 + 2(\beta \cdot \dot{\beta})^2 \right. \\ &\quad \left. - \gamma^2 (\beta \cdot \dot{\beta})^2 \right] \\ &= m^2 c^2 \gamma^6 \left[ (\beta \cdot \dot{\beta})^2 (\gamma^2 \beta^2 + z - \gamma^2) + \frac{1}{\gamma^2} \dot{\beta}^2 \right]. \end{aligned}$$

Wir bemerkten  $(\beta \wedge \dot{\beta})^2 = \beta^2 \dot{\beta}^2 - (\beta \cdot \dot{\beta})^2$  und erhalten

$$\begin{aligned} -\left(\frac{dp}{dt}\right)^2 &= m^2 c^2 \gamma^6 \left[ -(\beta \wedge \dot{\beta})^2 + \beta^2 \dot{\beta}^2 + \frac{1}{\gamma^2} \dot{\beta}^2 \right. \\ &\quad \left. - (\beta \cdot \dot{\beta})^2 + (\beta \cdot \dot{\beta})^2 (\gamma^2 \beta^2 + z - \gamma^2) \right] \\ &\quad \underbrace{0}_{\text{oder}} \end{aligned}$$

oder

$$-\left(\frac{dp}{dt}\right)^2 = m^2 c^2 \gamma^6 [\dot{\beta}^2 - (\beta \wedge \dot{\beta})^2]. \quad (5.9)$$

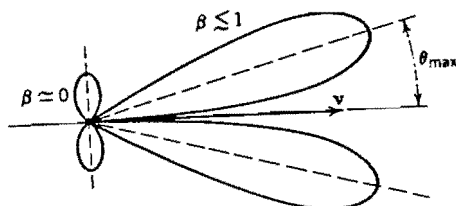
Damit wird aus (5.7)

$$P = \frac{ze^2}{3c} \gamma^6 [\dot{\beta}^2 - (\beta \wedge \dot{\beta})^2]. \quad (S.10)$$

Lineare Bewegung. Dieser einfache Fall ist insbesondere für Linearbeschleunigungen relevant. Dafür wird aus (S.3), wenn  $\delta = \gamma(\beta, n)$ ,

$$\frac{dP}{d\Omega} = \frac{e^2}{4\pi c^3} \dot{v}^2 \frac{\sin^2 \delta}{(1 - \beta \cos \delta)^5}. \quad (S.11)$$

Für  $\beta \neq 1$  geht die Strahlung hauptsächlich in die Vorwärtsrichtung (s. Fig.). Der Winkel  $\theta_{\max}$ , bei dem die Intensität



maximal wird, ist

$$\theta_{\max} = \cos^{-1} \left[ \frac{1}{3\beta} \left( \sqrt{1+15\beta^2} - 1 \right) \right] \xrightarrow{(\beta \neq 1)} \underline{\underline{\frac{1}{2\gamma}}}. \quad (S.12)$$

In diesem extrem relativistischen Fall ist die Intensität beim Maximum proportional zu  $\gamma^8$ . Die Strahlung ist in einem kleinen Kegel in der Vorwärtsrichtung konzentriert. Näherungsweise gilt

$$\frac{dP}{d\Omega} \approx \frac{8}{\pi} \frac{e^2}{c^3} \dot{v}^2 \gamma^8 \frac{(\gamma v)^2}{(1 + \gamma^2 v^2)^5}. \quad (S.13)$$

Dafür ist

$$\langle \gamma^2 \rangle^{1/2} = \frac{1}{\gamma}. \quad (S.14)$$

Die gesuchte Strahlungsleistung ist nach (5.10)

$$\boxed{P = \frac{ze^2}{3mc^3} v^2 \gamma^6.} \quad (5.15)$$

Wir wollen dies mit der Energieänderung  $dE/dt$  des Teilchens vergleichen. Dazu müssen wir zuerst (5.15) durch  $dp/dt$  des Teilchens aus. Wir haben (s. S. IV.31)

$$\frac{dp}{dt} = mc \frac{d}{dt}(\gamma \beta) = mc [\gamma^3 (\beta \cdot \dot{\beta}) \beta + \gamma \dot{\beta}],$$

also für Linearbeschleunigung

$$(\frac{dp}{dt})^2 = \gamma^6 m^2 c^2 [\beta^4 \dot{\beta}^2 + \dot{\beta}^2 + \frac{z^2}{\gamma^2} \beta^2 \dot{\beta}^2] = \gamma^6 m^2 c^2 \dot{\beta}^2.$$

Folglich kann (5.15) so geschrieben werden:

$$P = \frac{ze^2}{3mc^3} (\frac{dp}{dt})^2. \quad (5.16)$$

Nun ist die Energieänderung  $dE/dx$  des Teilchens pro Längeneinheit

$$\frac{dE}{dx} = \frac{1}{v} \frac{dE}{dt} = \frac{1}{v} \frac{p}{E} \frac{dp}{dt} = \frac{dp}{dt}.$$

Folglich gilt auch

$$P = \frac{ze^2}{3mc^3} (\frac{dE}{dx})^2. \quad (5.17)$$

Die rechte Seite hängt nur von der betreibenden Kraft ab. Wichtig ist das Verhältnis

$$\frac{P}{dE/dt} = \frac{ze^2}{3mc^3} \frac{1}{v} \frac{dE}{dx} \xrightarrow{(\beta \neq 1)} \frac{2}{3} \frac{e^2/mc^2}{m c^2} \frac{dE}{dx}. \quad (5.18)$$

Der Energieverlust ist deshalb unerträglich, solange der Energiegewinn nicht von der Ordnung  $mc^2 = 0.511 \text{ MeV}$  über eine Distanz  $e^2/mc^2 = 2.83 \times 10^{-13} \text{ cm}$ , d.h.,  $2 \times 10^{14} \text{ MeV/Meter}$  ist! Typische Energiegewinne in Maschinen sind weniger als  $10 \text{ MeV/Meter}$ .

Zirkularbewegung. Ganz anders sieht die Verhältnisse bei Zirkularbeschleunigern. Die totale Strahlungsleistung ergibt sich aus (5.10) zu

$$P = \frac{ze^2}{3c} \beta^2 \gamma^4. \quad (5.19)$$

Für eine Kreisbewegung mit dem Radius  $\rho$  und Kreisfrequenz  $\omega$  ist dies auch

$$\boxed{P = \frac{ze^2}{3} \frac{c}{\rho^2} \beta^2 \underline{\gamma^4} = \frac{ze^2}{3c} \omega^2 \beta^2 \underline{\gamma^4}.} \quad (5.20)$$

Der Faktor  $\gamma^4$  führt zu enormen Strahlungsverlusten für zirkulare Elektronenmaschinen wie LEP. Der Strahlungsverlust eines Teilchens pro Umlauf ist

$$\delta E = \frac{2\pi\rho}{c\beta} P = \frac{4\pi}{3} \frac{e^2}{\rho} \beta^3 \gamma^4. \quad (5.21)$$

Für  $\beta \approx 1$  ist dies für Elektronen und Positronen

$$\delta E(\text{MeV}) = 8.85 \times 10^{-2} \frac{[E(\text{GeV})]^4}{\rho(\text{Meter})}. \quad (5.22)$$

Der zugehörige Strom (für ein Teilchen) ist

$$I = e \frac{1}{2\pi\rho/c\beta} = \frac{e\beta c}{2\pi\rho},$$

also

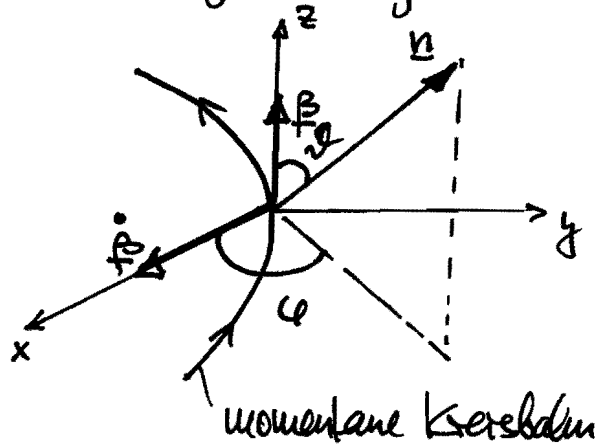
$$P = \frac{J}{e} \delta E ;$$

in Zahlen

$$\left\{ P(\text{Watt}) = 10^6 \delta E(\text{keV}) I(\text{Amp}) \right. . \quad (5.23)$$

Werte (5.22) und (5.23) für das LEP aus (5. Übungen).

Wir betrachten auch noch die Winkelverteilung und setzen dazu (5.3) aus, wobei wir die folgenden Polarwinkel einführen:  $\beta$  schane momentan in die z-Richtung und  $\dot{\beta}$  in die x-Richtung (s. Fig.). Mit den üblichen Polarwinkeln  $(\theta, \phi)$  für die Beobachtungsrichtung erhält man:

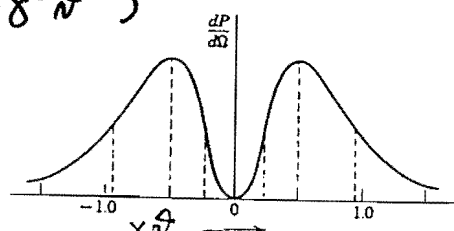


$$\boxed{\frac{dP}{d\Omega} = \frac{e^2}{4\pi c^3} v^2 \frac{1}{(1-\beta \cos \delta)^3} \left[ 1 - \frac{\sin^2 \dot{\beta} \cos^2 \beta}{\gamma^2 (1-\beta \cos \delta)^2} \right].} \quad (5.24)$$

Für  $v \uparrow c$  erhalten wir wieder eine charakteristische Verzögerungsspitze (s. Fig.). Für kleine Winkel  $\delta$  ist

$$\frac{dP}{d\Omega} \approx \frac{2e^2}{\pi c^3} v^2 \gamma^6 \frac{1}{(1+\gamma^2 \dot{\beta}^2)^3} \left[ 1 - \frac{4\gamma^2 \dot{\beta}^2 \cos^2 \beta}{(1+\gamma^2 \dot{\beta}^2)^2} \right].$$

und wieder gilt  $\langle \dot{\beta} \rangle^2 = 1/\gamma$ .



Bewegung in einem homogenen Magnetfeld. Bei dieser bleibt die Energie konstant:  $\dot{x}/dt = 0$  (s. (II.2.13)) und nach (II.2.12) gilt damit

$$\dot{\underline{v}} = \frac{e}{\gamma u c} \underline{v} \wedge \underline{B} \quad (\Rightarrow \dot{\underline{v}} \perp \underline{v}). \quad (S.25)$$

Aus (S.10) folgt

$$\dot{P} = \frac{ze^2}{3c} \gamma^4 \dot{\beta}^2,$$

wobei nach (S.25)

$$\dot{\beta} = \frac{e}{\gamma u c} \beta \underline{B}_\perp, \quad \underline{B}_\perp = \text{Komponente von } \underline{B} \perp \underline{f}_\beta.$$

Somit ist

$$P = \frac{z}{3} \frac{e^4 B_\perp^2}{u^2 c^3} (\gamma^2 - 1)$$

oder

$$\boxed{P = \frac{z}{3} \frac{e^4 B_\perp^2}{u^2 c^3} \left[ \left( \frac{E}{u c^2} \right)^2 - 1 \right].} \quad (S.26)$$

### Sinuswellen-Alter

Für hochrelativistische Elektronen gilt also

$$\frac{dE}{dt} = -\rho E^2, \quad \rho := \frac{ze^4}{3u^4 c^7} B_\perp^2. \quad (S.27)$$

Die Lösung dieser Differenzialgleichung ist

$$\frac{1}{E} = \rho t + \text{const.}$$

für  $t=0$  sei  $E=E_0 \gg u c^2$ ; dann gilt

$$E = \frac{E_0}{1 + \rho E_0 t}. \quad (S.28)$$

Nach der Zeit  $t_{1/2} = 1/0 E_0$  ist  $E = \frac{1}{2} E_0$ . Numerisch ist

$$t_{1/2}[s] = \frac{5.1 \times 10^8}{[B_{\perp}(\text{Gauss})]^2} \frac{mc^2}{E_0}. \quad (\text{s.29})$$

### Anwendung auf den Krebsnebel

Der Krebsnebel ist das Relikt einer Supernova, welche 1054 u. Ch. aufleuchtete. Dieser Nebel sendet eine beindruckende Synchrotronstrahlung von  $\sim 10^{38}$  erg/s aus, deren Spektrum von niedrigen Radiofrequenzen bis zu hohen  $\gamma$ -Region reicht. Wir werden das Synchrotronpektrum im niedrigen Abschnitt ausrechnen und dabei sehen, dass dieses ziemlich flach ist und oberhalb einem Maximum bei

$$\nu_m = 0.07 \frac{e B_{\perp}}{mc} \left( \frac{E}{mc^2} \right)^2 \quad (\text{s.30})$$

rasch abfällt (s. S. IV.52). Für typische Werte  $B_{\perp} = 5 \times 10^{-4}$  G erhalten wir in der  $\gamma$ -Region:  $E \approx 2 \times 10^6$  GeV für  $\nu = 10^{22}$  Hz. Einsetzen wir in (s.29)  $E_0$  durch  $\nu_m$ , so kommt

$$t_{1/2}[s] = 6.1 \times 10^{11} (B_{\perp}[\text{G}])^{3/2} (\nu_m[\text{Hz}])^{-1/2}. \quad (\text{s.31})$$

Etwa für  $\nu_m = 10^{20}$  Hz ist  $t_{1/2}$  nur etwa 10 Wochen!  
Da der Krebsnebel aber 740 Jahre alt ist, müssen offenbar ständig hochrelativistische Elektronen in den Nebel eingeschossen werden. Der Ursprung dieser Elektronen war lange unbekannt. Heute weiß man, dass sie vom zentralen Pulsar stammen.

## IV. 6 Spektrale Verteilung der Strahlungsausbreitung

Wir wollen nun das Spektrum der Strahlungsausbreitung behandeln. Dieses ist vor allem in der Astrophysik von grosser Bedeutung, wie schon aus den obigen Diskussionen des Krebsnebels hervorgehen dürfte.

Als Ausgangspunkt könnten wir (4.31) wählen. (Dieser Weg wird z.B. in Jackson, §14.5, beschritten.) Wir gehen anders vor und leiten zunächst einen allgemeinen Ausdruck für die spektrale Verteilung ab, der für beliebige Störung gilt. Dazu gehen wir auf die Gleichungen (2.16) und (2.22) zurück:

$$\underline{E} = \frac{1}{r} \frac{1}{c^2} \underline{n} \wedge (\underline{n} \wedge \dot{\underline{I}}), \quad \underline{E} = \underline{B} \wedge \underline{n}, \quad (6.1)$$

$$\underline{J}(x, t) = \int d\omega \tilde{\underline{J}}(k, \omega) e^{i(k \cdot x - \omega t)} \quad (k = \frac{\omega}{c} \underline{n}, n = x/t). \quad (6.2)$$

Dabei ist

$$\tilde{\underline{J}}(k, \omega) = \frac{1}{2\pi} \int dt e^{i\omega t} \int dx e^{-ik \cdot x} \underline{J}(k, t). \quad (6.3)$$

Die Energiedichte pro Zeiteinheit in den Raumwinkel  $d\Omega$  ist  $dI(t) = r^2 \frac{c}{4\pi} |\underline{E}(t)|^2 d\Omega$ . (Da wir uns für das Frequenzspektrum interessieren, das der Beobachter registriert, reduziert sich jetzt pro Längeneinheit, und nicht wie früher in Einheiten von  $t$ .) Die gesamte abgestrahlte Energie pro Raumwinkel ist

$$\frac{dW}{d\Omega} = r^2 \frac{c}{4\pi} \int_{-\infty}^{+\infty} |\underline{E}(t)|^2 dt. \quad (6.4)$$

Zerlegen wir  $\underline{E}(t)$  in ein Fourierreiheintegral,

$$\underline{E}(t) = \frac{1}{\sqrt{2\pi}} \int \tilde{\underline{E}}(\omega) e^{-i\omega t} dt \quad (6.5)$$

So gilt nach der Parsevalgleichung

$$\frac{dW}{d\omega} = \tau^2 \frac{c}{4\pi} \int_{-\infty}^{+\infty} |\tilde{\underline{E}}(\omega)|^2 d\omega. \quad (6.6)$$

Die spektrale Verteilung der differentiellen Abschaltung ist somit

$$\frac{d^2W}{d\omega d\omega} = \tau^2 \frac{c}{4\pi} \cdot 2 |\tilde{\underline{E}}(\omega)|^2, \quad (6.7)$$

wobei wir  $\underline{E}(\omega)^* = \underline{E}(-\omega)$  bemerkten haben. Nun ist aber nach (6.1) und (6.2)

$$|\tilde{\underline{E}}(\omega)|^2 = \frac{1}{\tau^2} \frac{c^2}{2\pi} \frac{\omega^2}{c^4} |\underline{n} \wedge (\underline{n} \wedge \tilde{\underline{J}}(\underline{k}, \omega))|^2. \quad (6.8)$$

Damit haben wir die gesuchte allgemeine Formel

$$\boxed{\frac{d^2W}{d\omega d\omega} = \frac{c^2}{c^3} \frac{\omega^2}{2\pi} |\underline{n} \wedge (\underline{n} \wedge \tilde{\underline{J}}(\underline{k}, \omega))|^2}. \quad (6.9)$$

Nun spezialisieren wir auf die Struktur (4.3) einer bewegten Punktladung

$$\underline{J}(\underline{x}, t) = e \underline{v}(t) \delta^3(\underline{x} - \underline{z}(t)), \quad \underline{v}(t) = \dot{\underline{z}}(t).$$

Dafür ist

$$\begin{aligned} \tilde{\underline{J}}(\underline{k}, \omega) &= \frac{1}{2\pi} \int dt e^{i\omega t} \int dx e^{\underline{k} \cdot \underline{x}} e^{\underline{v}(t)} \delta^3(\underline{x} - \underline{z}(t)) e^{-i\underline{k} \cdot \underline{x}} \\ &= \frac{e}{2\pi} c \int dx e^{-i\underline{k} \cdot \underline{z}(t)} e^{i\omega t} dt. \end{aligned}$$

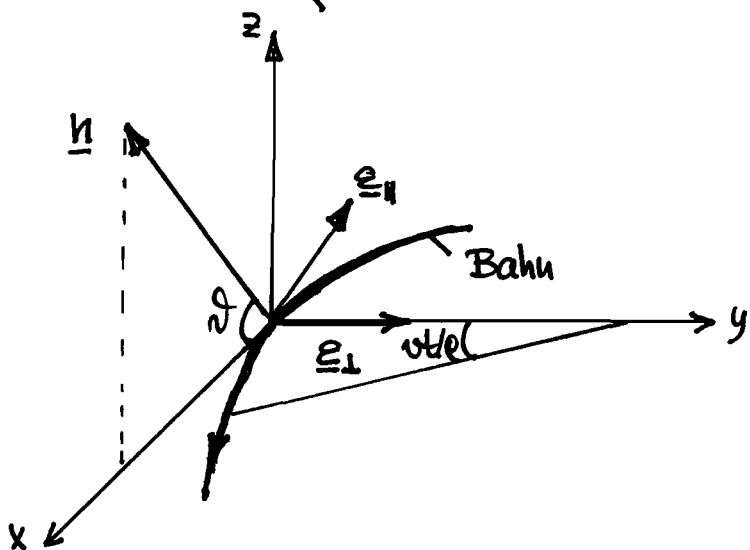
In (6.9) eingesetzt ergibt

$$\boxed{\frac{d^2W}{d\omega dw} = \frac{e^2 \omega^2}{4\pi^2 c} \left| \int \underbrace{n_\lambda(n_\lambda \beta(t))}_{\text{Richtung von } \underline{E}(t)} e^{-ik \cdot \underline{z}(t)} e^{i\omega t} dt \right|^2. \quad (6.16)}$$

### Ausnutzung für hohe Energien

Wir haben bereits gesehen, dass die Strahlung für  $\gamma \gg 1$  stark in der Vorwärtsrichtung konzentriert ist. Deshalb sieht ein Beobachter nur einen kurzen Puls. Da die Winkelausdehnung  $\langle \theta^2 \rangle^{1/2} \approx 1/\gamma$  ist (s. S. IV.41), wird das Teilchen während der Pulsdauer eine Distanz  $\rho/\gamma$  ( $\rho$ : Krümmungsradius) durchqueren. Die Zeitdauer des Pulses ist somit  $\Delta t \sim \rho/\gamma v \approx \rho/\gamma c$ . Für diese kurze Zeit approximieren wir die Bahn durch eine momentane Kreisbewegung in der  $(x, y)$ -Ebene (s. Fig.)

$$\underline{z}(t) = \left( \rho \sin \frac{v}{\rho} t, \rho - \rho \cos \frac{v}{\rho} t, 0 \right).$$



Die Beobachtungsrichtung wählen wir in der  $(x, z)$ -Ebene:  
 $\underline{n} = (\cos \delta, 0, \sin \delta), \quad \delta = \angle(\beta, \underline{n}).$

Zur Zeit  $t=0$  ist die Geschwindigkeit in der  $x$ -Richtung. Als Polarisationsvektoren senkrecht zu  $\underline{n}$  wählen wir zu diesem Zeitpunkt  $\underline{\varepsilon}_\perp$  in der  $y$ -Richtung und  $\underline{\varepsilon}_{||} = \underline{n} \wedge \underline{\varepsilon}_\perp$ . Mit diesen Bezeichnungen haben wir

$$\underline{\beta} = \left( \beta \cos \frac{v}{c} t, \beta \sin \frac{v}{c} t, 0 \right),$$

$$\underline{n} \wedge (\underline{n} \wedge \underline{\beta}) = -\beta \underline{\varepsilon}_\perp \sin \left( \frac{v}{c} t \right) + \beta \underline{\varepsilon}_{||} \cos \left( \frac{v}{c} t \right) \text{ sind.} \quad (6.11)$$

Wir benötigen diese Formeln nur für sehr kurze Zeiten  $\sim \ell/vc$  und kleine Winkel  $\vartheta \approx 1/\gamma$ :

$$\underline{n} \wedge (\underline{n} \wedge \underline{\beta}) \approx -\frac{c}{\ell} t \underline{\varepsilon}_\perp + \vartheta \underline{\varepsilon}_{||}. \quad (6.12)$$

In (6.10) brauchen wir noch

$$\begin{aligned} \omega t - \underline{k} \cdot \underline{z}(t) &= \omega \left[ t - \frac{\ell}{c} \sin \left( \frac{vt}{c} \right) \cos \vartheta \right] \\ &\approx \omega \left[ t - \beta t + \frac{\ell}{c} \frac{1}{3!} \left( \frac{vt}{c} \right)^3 + \frac{\ell}{c} \frac{v}{\ell} t \frac{\vartheta^2}{2} \right]. \end{aligned}$$

Da  $\beta = \sqrt{1-1/\gamma^2}$ ,  $1-\beta \approx 1/2\gamma^2$  erhalten wir, wenn wir überall, wo dies erlaubt ist,  $\beta=1$  setzen

$$\omega t - \underline{k} \cdot \underline{z}(t) \approx \frac{\omega}{2} \left[ \left( \frac{1}{\gamma^2} + \vartheta^2 \right) t + \frac{c^2}{3\ell^2} t^3 \right]. \quad (6.13)$$

Setzen wir jetzt (6.12) und (6.13) in (6.10) ein, so kommt

$$\boxed{\frac{d^2W}{d\Omega d\omega} = \frac{e^2 \omega^2}{4\pi^2 c} \left| -\underline{\varepsilon}_\perp A_\perp(\omega) + \underline{\varepsilon}_{||} A_{||}(\omega) \right|^2}, \quad (6.14)$$

wobei  $A_\perp(\omega)$  und  $A_{||}(\omega)$  durch die folgenden Integrale gegeben sind:

$$A_{\perp}(\omega) \simeq \frac{c}{\rho} \int_{-\infty}^{+\infty} t \exp \left\{ i \frac{\omega}{2} \left[ \left( \frac{1}{\gamma^2} + \delta^2 \right) t + \frac{c^2}{3\rho^2} t^3 \right] \right\} dt,$$

$$A_{\parallel}(\omega) \simeq \delta \int_{-\infty}^{+\infty} \exp \left\{ \dots \right\} dt. \quad (6.15)$$

Nun setzen wir

$$\xi = \frac{\omega \rho}{3c} \left( \frac{1}{\gamma^2} + \delta^2 \right)^{3/2} \quad (6.16)$$

und bemerken die neue Integrationsvariable

$$x = \frac{ct}{\rho} \frac{1}{\sqrt{\frac{1}{\gamma^2} + \delta^2}}.$$

Damit schreiben sich die Amplituden (6.15) für die beiden orthogonalen Polarisierungen

$$A_{\perp}(\omega) = \frac{\rho}{c} \left( \frac{1}{\gamma^2} + \delta^2 \right)^{1/2} \int_{-\infty}^{+\infty} x \exp \left[ i \frac{3\xi}{2} \left( x + \frac{1}{3} x^3 \right) \right] dx,$$

$$A_{\parallel}(\omega) = \frac{\rho}{c} \delta \left( \frac{1}{\gamma^2} + \delta^2 \right)^{1/2} \int_{-\infty}^{+\infty} \exp \left[ i \frac{3\xi}{2} \left( x + \frac{1}{3} x^3 \right) \right] dx. \quad (6.17)$$

Die hier vorkommenden Integrale sind Integraldarstellungen der Airy-Funktionen (siehe Abramowitz, Formel 10.4.32).  
Bemerk man auch die Beziehungen 10.4.14 und 10.4.31 in Abramowitz zu den modifizierten Besselfunktionen  $K_{1/3}$ ,  $K_{2/3}$ , so findet man

$$\int_0^{\infty} x \sin \left[ \frac{3}{2} \xi \left( x + \frac{1}{3} x^3 \right) \right] dx = \frac{1}{\sqrt{3}} K_{2/3}(\xi),$$

$$\int_0^{\infty} \cos \left[ \frac{3}{2} \xi \left( x + \frac{1}{3} x^3 \right) \right] dx = \frac{1}{\sqrt{3}} K_{1/3}(\xi). \quad (6.18)$$

Damit lautet die spektrale Verteilung

$$\boxed{\frac{d^2W}{d\omega d\omega} = \frac{e^2}{3\pi^2 c} \left(\frac{\omega_0}{c}\right)^2 \left(\frac{1}{\gamma^2} + \delta^2\right)^2 \left[ K_{2/3}^2(\xi) + \frac{\delta^2}{\frac{1}{\gamma^2} + \delta^2} K_{4/3}^2(\xi) \right].}$$

$\uparrow \quad \uparrow$   
 $\xi_{\perp} \quad \xi_{\parallel}$

(6.19)

Dieses Ergebnis wollen wir nun im einzelnen diskutieren. Dazu nehmen wir zuerst die folgenden Näherungsformeln für die modifizierten Besselfunktionen (s. Abramowitz):

$$\begin{aligned} x \ll 1 : K_{\nu}(x) &\sim \frac{1}{2} \Gamma(\nu) \left(\frac{1}{2}x\right)^{-\nu}, \quad \nu \neq 0; \\ x \gg 1 : K_{\nu}(x) &\sim \sqrt{\frac{\pi}{2x}} e^{-x} \left[ 1 + O\left(\frac{1}{x}\right) \right] \end{aligned} \quad (6.20)$$

$$(\Gamma(1/2) = \pi^{1/2}, \Gamma(2/3) = 1.3541\dots).$$

Daraus ergibt sich, dass (6.15) für grosse  $\xi$  wie  $e^{-2\xi}$  abfällt. Der Ausdruck (6.16) für  $\xi$  zeigt, dass  $\xi$  für alle Winkel  $\delta$  gross wird, wenn die Frequenz  $\omega$  gross ist. Wir definieren dementsprechend eine kritische Frequenz durch  $2\xi = 1$  bei  $\delta = 0$ , d.h.,

$$\omega_c = \frac{3}{2} \gamma^3 \left(\frac{c}{\rho}\right). \quad (6.21)$$

Beachte, dass  $\omega_c$  für  $\gamma \gg 1$  viel grösser ist als die Kreisfrequenz  $c/\rho$  der Bewegung.

In der Verwirbelung ( $\delta = 0$ ) finden wir sofort die Grenzfälle:

---

\* Diese ist um einen Faktor 2 kleiner als bei Jackson (p. 675). Wir halten uns hier an die meist gebrauchte Konvention.

$$\frac{d^2W}{d\Omega d\omega} \Big|_{\vartheta=0} \approx \begin{cases} \frac{e^2}{c} \left[ \frac{\Gamma(2/3)}{\pi} \right]^2 \left( \frac{3}{4} \right)^{1/3} \left( \frac{w_0}{c} \right)^{2/3} \text{ für } \omega \ll \omega_c, \\ \frac{3}{\pi} \frac{e^2}{c} \gamma^2 \frac{\omega}{\omega_c} e^{-\omega/\omega_c} \text{ für } \omega \gg \omega_c. \end{cases} \quad (6.22)$$

Für  $\vartheta=0$  wächst also das Spektrum zunächst mit  $\omega^{2/3}$  (weil unter  $\omega_c$ ) erreicht dann ein Maximum in der Nähe von  $\omega_c$  und fällt danach exponentiell ab.

Die Winkelausdehnung von (6.19) für festes  $\omega$  können wir grob wie folgt abschätzen. Wir suchen – bei gegebenem  $\omega$  – den kritischen Winkel  $\vartheta_c$  bei dem  $\xi(\vartheta_c) = \xi(0) + 1$  ist. Bei niedrigen Frequenzen ( $\omega \ll \omega_c$ ) ist  $\xi(0)$  sehr klein, so dass  $\xi(\vartheta_c) \approx 1$  ist. Deshalb gilt (6.16)

$$\vartheta_c \approx \left( \frac{3c}{w_0} \right)^{1/3} = \frac{1}{\gamma} \left( \frac{2\omega_c}{\omega} \right)^{1/3} \quad (\omega \ll \omega_c). \quad (6.23)$$

Bedachte, dass  $\vartheta_c$  viel größer ist als  $\langle \vartheta^2 \rangle^{1/2} \approx 1/\gamma$ . Im entgegengesetzten Fall  $\omega \gg \omega_c$  ist  $\xi(0)$  schon gross verglichen mit 1 und es ist deshalb

$$\frac{d^2W}{d\Omega d\omega} \approx \frac{d^2W}{d\Omega d\omega} \Big|_{\vartheta=0} \cdot e^{-\frac{3}{2} \gamma^2 \vartheta^2 \omega / \omega_c} \quad (\omega \gg \omega_c). \quad (6.24)$$

Beim Winkel

$$\vartheta_c \approx \frac{1}{\gamma} \left( \frac{2\omega_c}{3\omega} \right)^{1/2} \quad (\omega \gg \omega_c)$$

Ist deshalb die Intensität um  $1/e$  abgefallen. Bei hohen Frequenzen ist also die Strahlung sehr stark in Verstrahlung konzentriert.

Nun wollen wir die Frequenzverteilung

$$\frac{dW}{d\omega} = \int \frac{d^2W}{d\omega d\Omega} d\Omega = 2\pi \int_{-\pi}^{\pi} \frac{d^2W}{d\omega d\Omega} \cos \vartheta d\vartheta$$

diskutieren. Zunächst betrachten wir wieder die Grenzfälle. Integriegen von (6.24) gibt

$$\frac{dW}{d\omega} \approx \sqrt{\pi} \frac{e^2}{c} \gamma \left( \frac{\omega}{\omega_c} \right)^{1/2} e^{-\omega/\omega_c} \quad (\omega \gg \omega_c). \quad (6.25)$$

Für  $\omega \ll \omega_c$  ist groß

$$\frac{dW}{d\omega} \sim \pi \omega_c^2 \frac{dW}{d\Omega d\omega} \Big|_{\Omega=0} \sim \frac{e^2}{c} \left( \frac{\omega}{\omega_c} \right)^{1/3}. \quad (6.26)$$

Das Spektrum steigt also wieder langsam ( $\sim \omega^{1/3}$ ) an und fällt oberhalb  $\omega_c$  exponentiell ab.

Beimkt man verschiedene Eigenschaften der Airy-Funktionen, so lässt sich die Winkelintegration von (6.19) in folgende Form bringen (berücksichtige dabei, dass  $d\Omega = \pi \cos \theta d\theta \approx \pi d\theta$ ):

$$\boxed{\frac{dW}{d\omega} = \frac{dW_+}{d\omega} + \frac{dW_-}{d\omega} = \sqrt{3} \frac{e^2}{c} \gamma \left( \frac{\omega}{\omega_c} \right) \int_{\omega/\omega_c}^{\infty} K_{5/3}(x) dx}, \quad (6.27)$$

wobei

$$\frac{dW_+}{d\omega} = \sqrt{3} \frac{e^2}{c} \gamma \frac{1}{2} [F(x) + G(x)], \quad (6.28)$$

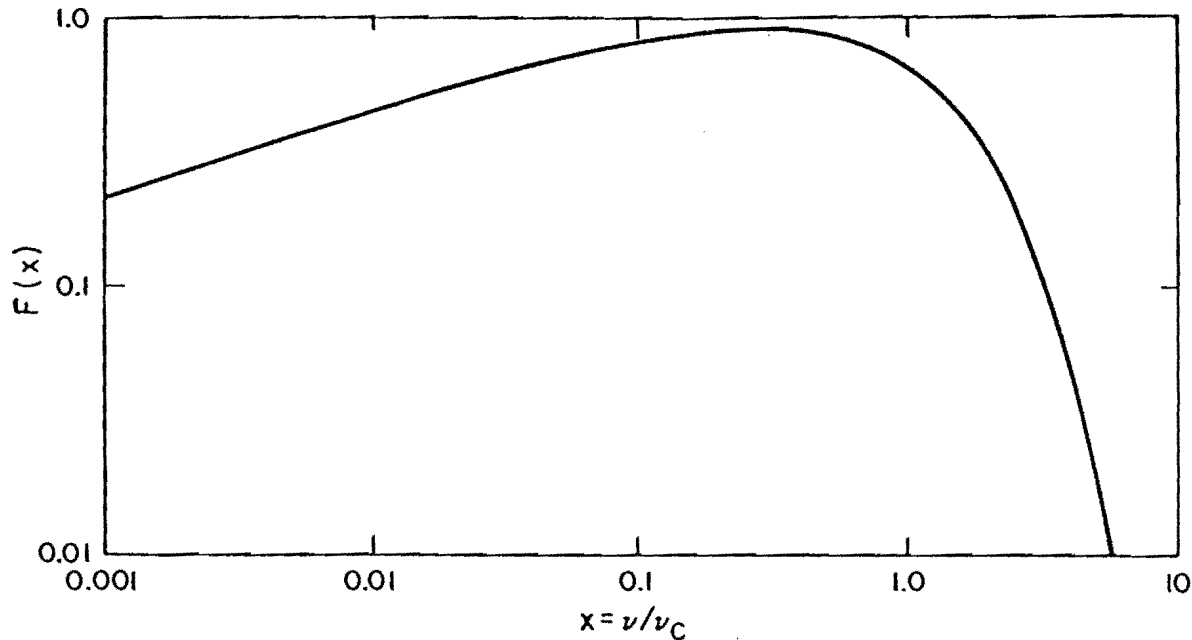
$$\frac{dW_-}{d\omega} = \sqrt{3} \frac{e^2}{c} \gamma \frac{1}{2} [F(x) - G(x)], \quad x := \frac{\omega}{\omega_c}, \quad (6.29)$$

mit

$$F(x) = x \int_x^{\infty} K_{5/3}(y) dy, \quad (6.30)$$

$$G(x) = x K_{2/3}(x). \quad (6.31)$$

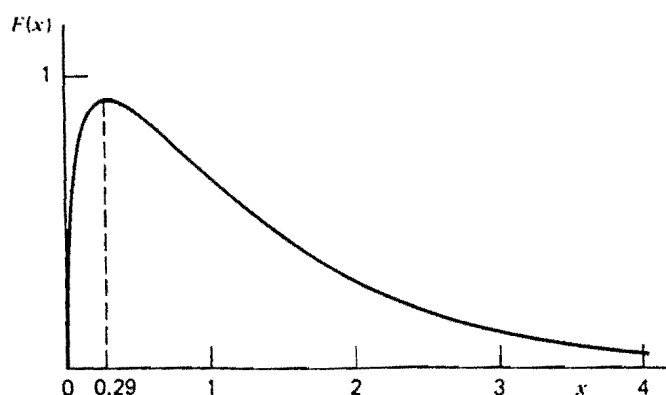
Die Funktionen  $F$  und  $G$  sind tabelliert.<sup>\*)</sup> Der Graph von  $F$  ist in der folgenden Figur gezeigt. Diese gibt nach



(6.27) die Form des Lynden-Bell-Gesetzes (für beide Polarisatoren zusammen).  $F(2/\nu_c)$  wird maximal bei

$$\underline{\nu_{\max} \approx 0.29 \nu_c} \quad (6.52)$$

(s. Fig.).




---

<sup>\*)</sup> Siehe z.B., A.G. Radolczyk, Radio Astrophysics, Freeman and Company, 1970.

## Spektrale Intensitätsverteilung für eine Spiralmöglichkeit

Das geladene Teilchen (Elektron) bewege sich nun in einem homogenen  $\underline{B}$ -Feld auf einer Spirale. Wählen wir die Richtung von  $\underline{B}$  als  $z$ -Achse, so ist

$$\underline{z}(t) = (-\rho_0 \cos \omega_0 t, \rho_0 \sin \omega_0 t, c \beta_{||} t), \quad (6.33)$$

$$\underline{\beta}(t) = (\beta_{\perp} \sin \omega_0 t, \beta_{\perp} \cos \omega_0 t, \beta_{||}), \quad (6.34)$$

wobei

$$\beta_{\perp} = \frac{\rho_0 \omega_0}{c}. \quad (6.35)$$

Zunächst benötigen wir den Krümmungsradius für diese Bewegung. Allgemein gilt (konsultiere ein Buch über Kurven und Flächen)

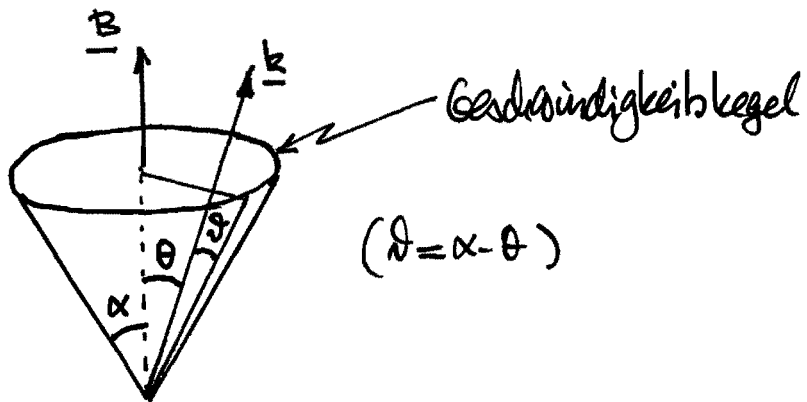
$$\frac{1}{\rho} = \frac{[(\dot{x}\ddot{y} - \dot{y}\ddot{x})^2 + (\dot{y}\ddot{z} - \dot{z}\ddot{y})^2 + (\dot{z}\ddot{x} - \dot{x}\ddot{z})^2]^{1/2}}{(\dot{x}^2 + \dot{y}^2 + \dot{z}^2)^{3/2}}$$

Setzt man hier (6.34) ein, so ergibt sich

$$\rho = \frac{c \beta^2}{\omega_0 \beta_{\perp}} = \frac{c \beta}{\omega_0 \cos \alpha}, \quad \alpha = \angle(\underline{\beta}, \underline{B}). \quad (6.36)$$

Der Beobachter empfängt periodische Pulse. Die Zeit zwischen zwei Pulsen ist aber nicht  $2\pi/\omega_0$ , da er die Umlauffrequenz Doppler-verschoben sieht. Äquivalent dazu kann man auch sagen, dass nach (5.1) die Beziehung zwischen  $t$  und  $t_{\text{rel}}$  gegeben ist durch (5.1g):

$$\frac{dt}{dt_{\text{rel}}} = 1 - \beta_{||} \cdot \underline{u} = 1 - \beta_{||} \cos \theta = 1 - \beta \cos \alpha \cos \theta. \quad (6.37)$$



Deshalb ist die Periode zwischen zwei aufgängen Pulsen

$$T = \frac{2\pi}{\omega_0} (1 - \beta \cos \alpha \cos \theta).$$

Da  $\theta \approx \alpha$ , genügt die Näherung

$$T \approx \frac{2\pi}{\omega_0} (1 - \beta \cos^2 \alpha) \approx \frac{2\pi}{\omega_0} \sin^2 \alpha. \quad (6.38)$$

Für  $\omega \gg \omega_0$  ist das beobachtete Spektrum praktisch kontinuierlich. Wir erhalten die spektrale Intensitätsverteilung für den Beobachter weit weg durch Multiplikation von (6.19) mit der Repetitionsrate  $1/T \approx \omega_0/(2\pi \sin^2 \alpha)$ :

$$\frac{d\tilde{P}}{d\Omega d\omega} = \frac{\omega_0}{2\pi \sin^2 \alpha} \frac{d^2 W}{d\Omega d\omega}. \quad (6.39)$$

Ersetzen wir in (6.19)  $\rho$  durch die kritische Frequenz (6.21), so erhalten wir

$$\begin{aligned} \frac{d\tilde{P}}{d\Omega d\omega} &= \frac{3e^2}{8\pi^3 c} \frac{\omega_0}{\sin^2 \alpha} \left( \frac{\omega}{\omega_c} \right)^2 \gamma^2 (1 + \gamma^2 \delta^2)^2 \left[ K_{2/3}^2(\xi) + \right. \\ &\quad \left. + \frac{\delta^2}{(1/\gamma^2) + \delta^2} K_{1/3}^2(\xi) \right]. \end{aligned} \quad (6.40)$$

Das Argument  $\xi$  lässt sich ebenfalls durch die kritische Frequenz

ausdrücken:

$$\boxed{\Xi = \frac{1}{2} \frac{\omega}{\omega_0} (1 + \gamma^2 \partial z)^{3/2}} \quad (6.41)$$

Substituieren wir außerdem für  $\rho$  den Wert (6.36) (mit  $\beta \rightarrow 1$ ) in (6.21), so lässt sich die kritische Frequenz folgendermaßen durch  $\omega_0$  ausdrücken

$$\boxed{\omega_c = \frac{3}{2} \gamma^3 \omega_0 \sin \alpha} \quad (6.42)$$

Für  $\gamma \gg 1$  ist  $\omega_c \gg \omega_0$ !

Die Kreisfrequenz  $\omega_0$  ist die Zyklusfrequenz. Aus (5.25) ergibt sich dafür sofort

$$\omega_0 = \frac{eB}{\gamma mc} \quad (6.43)$$

Bei der Winkelintegration von (6.40) muss man beachten, dass jetzt  $dQ = 2\pi \sin \theta d\theta \approx 2\pi \sin \alpha d\theta$  ist, während bei der Winkelintegration von (6.19)  $dQ \approx 2\pi d\theta$  war. Deshalb erhalten wir nach (6.28) und (6.29)

$$\begin{aligned} \frac{d\tilde{P}_L}{d\omega} &= \frac{1}{\sin^2 \alpha} \frac{\sqrt{3} e^2}{2mc} \gamma \omega_0 \frac{1}{2} [F(x) + G(x)] \sin \alpha, \\ \frac{d\tilde{P}_H}{d\omega} &= " " \cdot [ - ] \sin \alpha. \end{aligned} \quad (6.44)$$

Die Spieldrehmomente dieser Ausdrücke dienen mir nicht zur  $P$  in (5.10) gleichsetzen, da dort die Drehleistung pro Einheit von  $t$  net gesucht wird! (Dies wird in der

Literatur oft überschreiten.) Bestimmen wir die entsprechende Größen zu (6.44) mit  $dP_{\perp}/d\omega$ ,  $dP_{\parallel}/d\omega$ , so ist wegen (6.37), d.h.,  $d\ell/dt_{\text{ret}} \approx \sin^2 \alpha$ ,

$$\frac{dP_{\perp}}{d\omega} = \frac{\sqrt{3} e^3 B \sin \alpha}{2\pi mc^2} \frac{1}{2} [F(\alpha) + G(\alpha)],$$

$$\frac{dP_{\parallel}}{d\omega} = \frac{\sqrt{3} e^3 B \sin \alpha}{2\pi mc^2} \frac{1}{2} [F(\alpha) - G(\alpha)]. \quad (6.45)$$

In besonderer ist die gesuchte spektrale Strahlungsleistung

$$\boxed{\frac{dP}{d\omega} = \frac{\sqrt{3} e^3 B \sin \alpha}{2\pi mc^2} F(\omega/\omega_c)}. \quad (6.46)$$

Das Spektralintegral davon müsste mit (5.10) übereinstimmen. Dies wollen wir zur Kontrolle verifizieren. Das Integral von  $F$  ist bekannt:

$$\int_0^\infty F(x) dx = \frac{8\pi}{9\sqrt{2}}.$$

Dann haben wir

$$\int_0^\infty \frac{dP}{d\omega} d\omega = \frac{\sqrt{3} e^2}{2\pi c} \gamma \omega_0 \omega_c \frac{8\pi}{9\sqrt{2}} \sin \alpha.$$

$\uparrow$   
 $\frac{3}{2} \gamma^3 \omega_0 \sin \alpha$

Aus (5.10) erhält man anderseits (da  $\beta \perp \dot{\beta}$ ):

$$P = \frac{ze^2}{3c} \gamma^6 \dot{\beta}^2 (1 - \beta^2).$$

$\uparrow$   
 $(\beta_{\perp} \omega_0)^2 \approx \omega_0^2 \sin^2 \alpha$

Beide Ausdrücke geben in der Tat

$$P \approx \frac{ze^2}{3c} \gamma^4 c_0^2 \sin^2 \alpha. \quad (6.42)$$

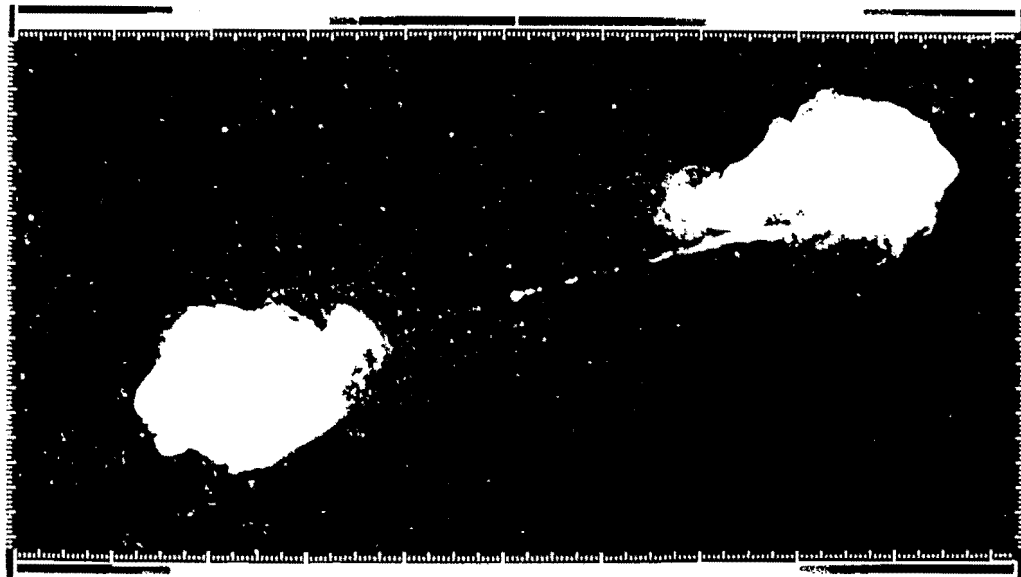
(vgl. dies mit (5.20)).

## IV.7 Syntheserausbildung von Radiogalaxien

Im Jahre 1954 identifizierten Baade und Hinkowski die Radioquelle Cygnus A mit dem hellsten Mitglied eines schwachen Galaxienhaufens und bestimmten dessen Rotverschiebung zu  $z = 0.057$ , entsprechend einer Distanz von etwa 170 Mpc. Daraus schliesst man auf eine absolute Radiolichtheit von ungefähr  $10^{45}$  erg/s. Dies ist  $\sim 10^7$  mal mehr als die Radiosichtung von zentralen Galaxien und  $\sim 10$  mal mehr als die optische Sichtung einer typischen Galaxie. Wir werden die physikalische Bedeutung dieses ausserordentlichen Resultates weiter unten diskutieren.

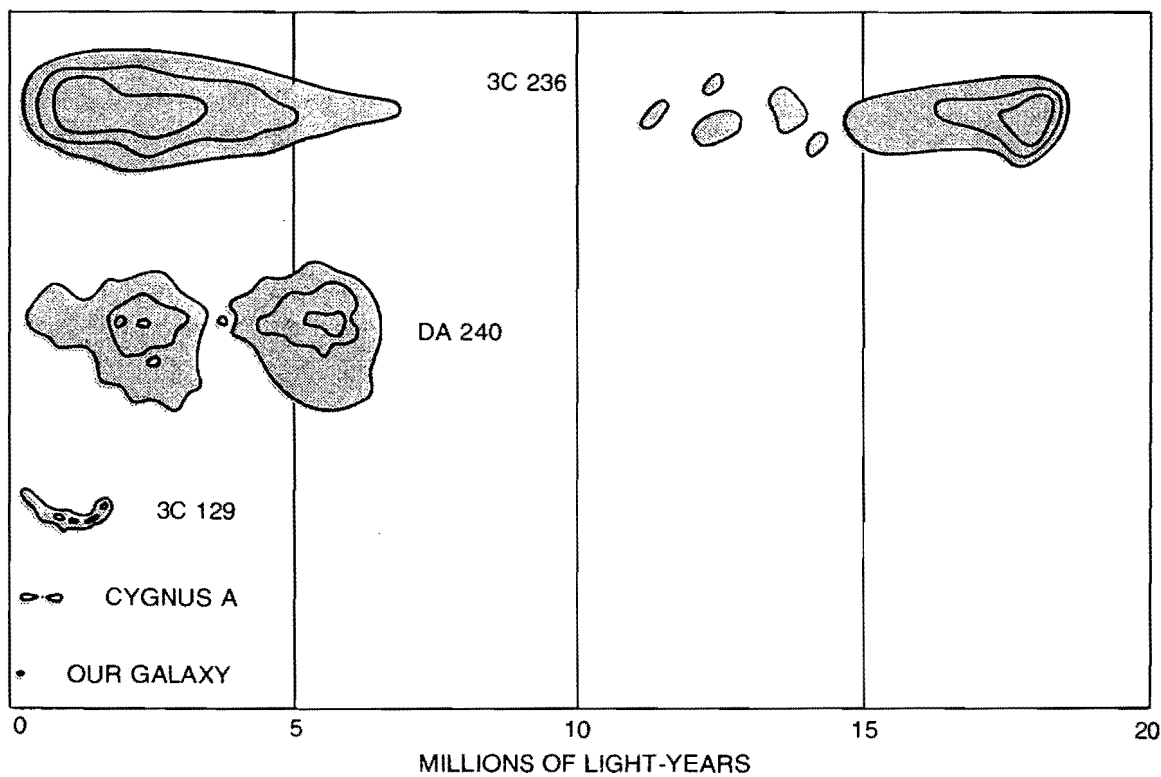
Mit Hilfe von potentiellen Interferometeranlagen, mit denen sich Strukturelle Einzelheiten von Bogensekundengrösse unterscheiden lassen, sind die Radiogalaxien seither eingehend untersucht worden. Die folgende Abbildung geht auf Aufnahmen des VLA ("Very Large Array" in New Mexico) zurück. In dieser sind die beiden Radioblasen von Cygnus A zu sehen. Halbwegs zwischen den beiden befindet sich eine elliptische Galaxie, welche im Bild als kleiner heller Lichtfleck erscheint und offenbar mit den Radioblasen über eine dünne "Wabeskrum" verbunden ist. Dieses und ähnliche

Bilder deuten stark darauf hin, dass von der zentralen aktiven Galaxie in zwei entgegengesetzten Richtungen gewaltige Ströme von Plasma und relativistischen Teilchen ausgestossen werden, die in umgebenden intergalaktischen Medium abgebremst werden und riesige Plasmakeulen an ihren Enden ausbilden. Die Radioemission wird durch Synchrotronabstrahlung eben relativistischer Elektronen erzeugt, die vom Kern der Galaxie aus in die magnetisierten Keulen injiziert werden. (Das Synchrotronalter (5.29) ist wieder kürzer als das Alter der Radioquellen, wodurch man aus deren riesigen Ausdehnungen abschätzt.)



Die Radioquelle Cygnus A bei 6 cm Wellenlänge, dargestellt in Form einer „Radiophotographie“, nach VLA-Messungen. (R. A. PERLEY et al., Astrophys. Jour. 285 (1984) L 35)

Einen Eindruck von den gewaltigen Ausdehnungen von aktiven Radiogalaxien gibt das nächste Bild. Deshalb müssen auch die beteiligten Energien, etwa die magnetische Feldenergie, gigantisch sein. Diese Frage wollen wir nun näher untersuchen.



### Energieinhalt von Radiogalaxien

Wir schätzen dazu die minimale Energie ab, welche in den Radiokernen in Form von relativistischen Teilchen und Magnetfeldern gespeichert ist.

Für die Elektronenverteilung nehmen wir ein beschränktes Potenzgesetz an:

$$N(E) = N_0 E^{-\gamma} \quad \text{für } E_1 \leq E \leq E_2. \quad (7.1)$$

Die gesamte kinetische Energie der Elektronen in  $[E_1, E_2]$  ist dann

$$E_e = \int E N(E) dE = N_0 \int_{E_1}^{E_2} E^{-\gamma+1} dE. \quad (7.2)$$

Da die abgestrahlte Strahlungsleistung für ein einzelnes Elektron nach (5.26) durch

$$P = C_2 B_{\perp}^2 E^2, \quad C_2 := \frac{ze^4}{3\mu^4 c^7} = 2.37 \times 10^{-3} \text{ (cgs)}. \quad (7.3)$$

gegeben ist, bebagt die gesamte Leistung der Syndes-  
tronstrahlung

$$L = \int_{E_1}^{E_2} C_2 B_{\perp}^2 E^2 N(E) dE = N_0 C_2 B_{\perp}^2 \int_{E_1}^{E_2} E^{-\gamma+2} dE. \quad (7.4)$$

Nit dieser Gleichung drücken wir  $N_0$  in (7.2) :

$$E_0 = C_2^{-1} L B_{\perp}^{-2} \frac{\gamma-3}{\gamma-2} \frac{E_1^{-\gamma+2} - E_2^{-\gamma+2}}{E_1^{-\gamma+3} - E_2^{-\gamma+3}}. \quad (7.5)$$

Dann erhalten wir noch die Grenzwellen  $E_1, E_2$  durch  
die zugehörigen kritischen Frequenzen: Nach (6.42) und (6.43)  
ist

$$\omega_c = \frac{3e}{2\mu c} B_{\perp} \gamma^2 \Rightarrow \gamma_c = \frac{3e}{4\pi \mu^2 c^5} B_{\perp} E^2,$$

oder

$$\gamma_c = C_1 B_{\perp} E^2, \quad C_1 := \frac{3e}{4\pi \mu^2 c^5} = 6.27 \times 10^{18} \text{ (cgs)}, \quad (7.6)$$

somit — wenn  $\alpha = -(1-\gamma)/2$  der sog. Grekbalindex ist —

$$E_0 = C_2^{-1} C_1^{1/2} \tilde{C}(\alpha, \gamma_1, \gamma_2) B_{\perp}^{-3/2} L = C_{12}(\alpha, \gamma_1, \gamma_2) B_{\perp}^{-3/2} L. \quad (7.7)$$

Dabei ist

$$\tilde{C}(\alpha, \gamma_1, \gamma_2) = \frac{2\alpha-2}{2\alpha-1} \frac{\gamma_1^{(1-2\alpha)/2} - \gamma_2^{(1-2\alpha)/2}}{\gamma_1^{1-\alpha} - \gamma_2^{1-\alpha}}. \quad (7.8)$$

Den Grekbalindex  $\alpha$  kann man aus den Beobachtungen  
entwickeln, wie ich nun zeigen will. Schreiben wir (6.46)

folgendermassen

$$\frac{dP}{d\gamma} = C_3 B \sin \alpha F(\gamma/\gamma_c) , \quad C_3 = \sqrt{8} \frac{e^3}{4C^2} , \quad (7.9)$$

so ist die gesamte speziale Leuchtkraft

$$L(\gamma) = C_3 B \sin \alpha \int_0^\infty N(E) F(x) dE = C_3 N_0 B \sin \alpha \int_0^\infty E^{-\delta} F(x) dE \\ \stackrel{(7.6)}{=} \frac{1}{2} C_3 N_0 B \sin \alpha \left( \frac{\gamma}{C_3 B \sin \alpha} \right)^{-(\gamma-1)/2} \int_0^\infty x^{(\gamma-3)/2} F(x) dx.$$

Dies zeigt, dass  $L(\gamma)$  einem Potenzgesetz  $\propto \gamma^{-\alpha}$  folgt. Das verbleibende Integral ergibt sich aus (s. Astrophys. J. 130) 241 (1959))

$$\int_0^\infty x^k F(x) dx = \frac{2^{k+1}}{\mu+2} \Gamma\left(\frac{\mu}{2} + \frac{2}{3}\right) \Gamma\left(\frac{\mu}{2} + \frac{2}{3}\right). \quad (7.10)$$

Bemerkung:  $\Gamma(z+1) = z \Gamma(z)$ , so ergibt sich

$$\boxed{L(\gamma) = C_s(\gamma) N_0 (B \sin \alpha)^{(\gamma+1)/2} \left( \frac{\gamma}{2C_3} \right)^{-(\gamma-1)/2} , \quad (7.11)}$$

Woher

$$C_s(\gamma) = \frac{1}{4} C_3 \Gamma\left(\frac{3\gamma-1}{12}\right) \Gamma\left(\frac{3\gamma+7}{12}\right) \frac{\gamma+7/3}{\gamma+1}. \quad (7.12)$$

Übung: Beweise auch  $\int_0^\infty x^k G(x) dx = 2^k \Gamma\left(\frac{\mu}{2} + \frac{4}{3}\right) \Gamma\left(\frac{\mu}{2} + \frac{2}{3}\right)$  und zeige, dass Polarisationsgrad der Strahlung gleich  $(\gamma+1)/(2\gamma+2)$  ist.

Damit kann  $\tilde{c}(x, \gamma_1, \gamma_2)$  in (7.8) mit speziellen  $\tilde{c}_{\text{sp}}$

bedingungen bestimmt werden.

Die gesamte gespeicherte Energie in den Kerlen in Form von Teilchenenergie (Elektronen und vor allen Protonen) und Magnetfeldern ist

$$E_{\text{total}} = E_e + E_p + E_B , \quad (7.13)$$

mit  $E_e$  in (7.2) und

$$E_B = \frac{B^2}{8\pi} \phi \frac{4\pi R^3}{3}, \quad \phi: \text{Bruchteil des Volumens, welches durch Magnetfelder ausgefüllt ist.}$$

Schreiben wir für die Energie der schweren Teile  $E_p = k E_e$ , mit  $1 \leq k \leq 10^3$  (?), so haben wir also

$$E_{\text{tot}} = (1+k) C_{12} B^{-3/2} L + \frac{B^2 \phi R^3}{6}. \quad (7.14)$$

Die magnetische Feldstärke  $B$  ist nicht bekannt. Deshalb nehmen wir in (7.14) den Minimalwert, der für

$$E_B = \frac{3}{4} (1+k) E_e \quad (7.15)$$

(ungefähre Equipartition) angenommen wird, wobei das zugehörige Magnetfeld folgenden Wert hat

$$B^{(\min)} = (4.5)^{2/2} (1+k)^{2/2} C_{12} \phi^{2/2} R^{-6/2} L^{2/2}. \quad (7.16)$$

Nach (7.15) ist

$$E_{\text{tot}}^{(\min)} = \frac{3}{4} (1+k) E_e = \frac{3}{4} (1+k) C_{12} B^{-3/2} L. \quad (7.17)$$

Benutzen wir darin nach (7.16), so kommt

$$E_{\text{tot}}^{(\text{min})} = C_{13} (1+k)^{4/7} \phi^{3/7} R^{9/7} L^{4/7}, \quad (7.18)$$

mit

$$\log C_{13} = -0.036 + \frac{4}{7} \log C_{12}.$$

Beispiel: Fornax A. Hier findet man ein Potenzgesetz zwischen  $\nu_1 \sim 10^7 \text{ Hz}$ ,  $\nu_2 \sim 10^{10} \text{ Hz}$  mit  $\alpha = +0.75$ . In diesem Intervall ist  $L = 2.8 \times 10^{41} \text{ erg/s}$ . Der Drehmassen bebt 89 kpc, das Volumen ist also  $V = 2.2 \times 10^{70} \text{ cm}^3$  (2 Quellen). Für  $k = 100$  gibt dafür (7.18)

$$E_{\text{tot}}^{(\text{min})} \simeq 1.3 \times 10^{59} \text{ erg}, \quad B^{(\text{min})} = 8 \times 10^{-6} \text{ Gauss}.$$

In diesem Beispiel ist das zugehörige Energieintervall  $E_1 = 280 \text{ keV} < E < 9 \text{ GeV}$ . Die totale Zahl der relativistischen Elektronen ist  $\sim 10^{60.3}$ , entsprechend einer Dichte  $\sim 10^{-10} / \text{cm}^3$ . Die "Lebensdauer" von 9 GeV Elektronen in 8 Mikrogauss ist  $t_{1/2} = 1.4 \times 10^7 \text{ Jahre}$ , also sehr kurz.

Für andere Beispiele kommt man auf niedrigere Werte:  $3C 236 \rightarrow 10^{61} \text{ erg}$ ! Und mit

$$10^{60} \text{ erg} \simeq 10^6 M_{\odot} C^2.$$

Das Energierohr, welches durch die Radiogalaxien aufgeworfen wird, ist also gigantisch. Wahrscheinlich sind supermassive Schwarze Löcher in der zentralen Galaxie im Spiel. Dein stabile Rotationssadse könnte auch für die ungewöhnliche Kollinearität etwa von 3C 236 (siehe Figuren oben) verantwortlich sein.

